

Le pipeline graphique (suite)

Ressource : www.scratchapixel.com
http://www.songho.ca/opengl/gl_projectionmatrix.html

Le pipeline graphique

Modèle géométrique : objets, surfaces, sources de lumière...

Modèle d'illumination : calcul des interactions lumineuses

Caméra : point de vue et ouverture (*frustum*)

Fenêtre (*viewport*) : grille de pixel



Modeling
Transformations

Viewing Transformation
(Perspective / Orthographic)

Clipping

Viewport transform

Scan Conversion
(Rasterization)

Illumination
(Shading)

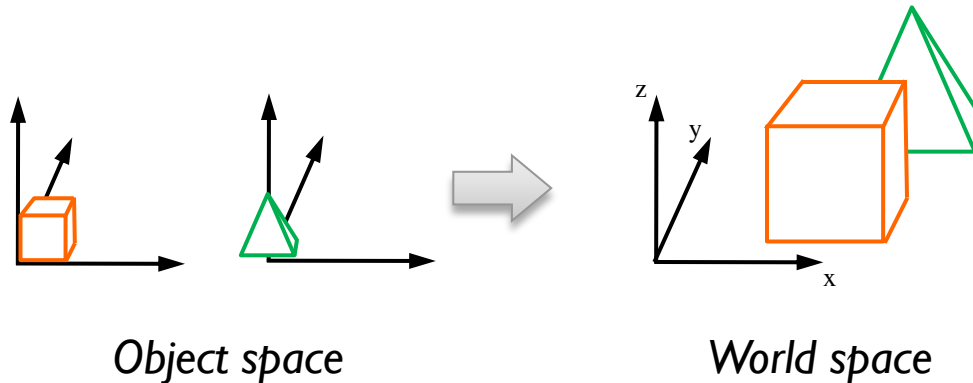
Per fragment operations
(visibility, blending)



Couleurs, intensités convenant à l'afficheur (ex : 32 bits, RGBA)

Transformations objet

Passage du système de **coordonnées locales** de chaque objet 3D (*object space*) vers un **repère global** (*world space*)



Modeling
Transformations

Viewing Transformation
(Perspective / Orthographic)

Clipping

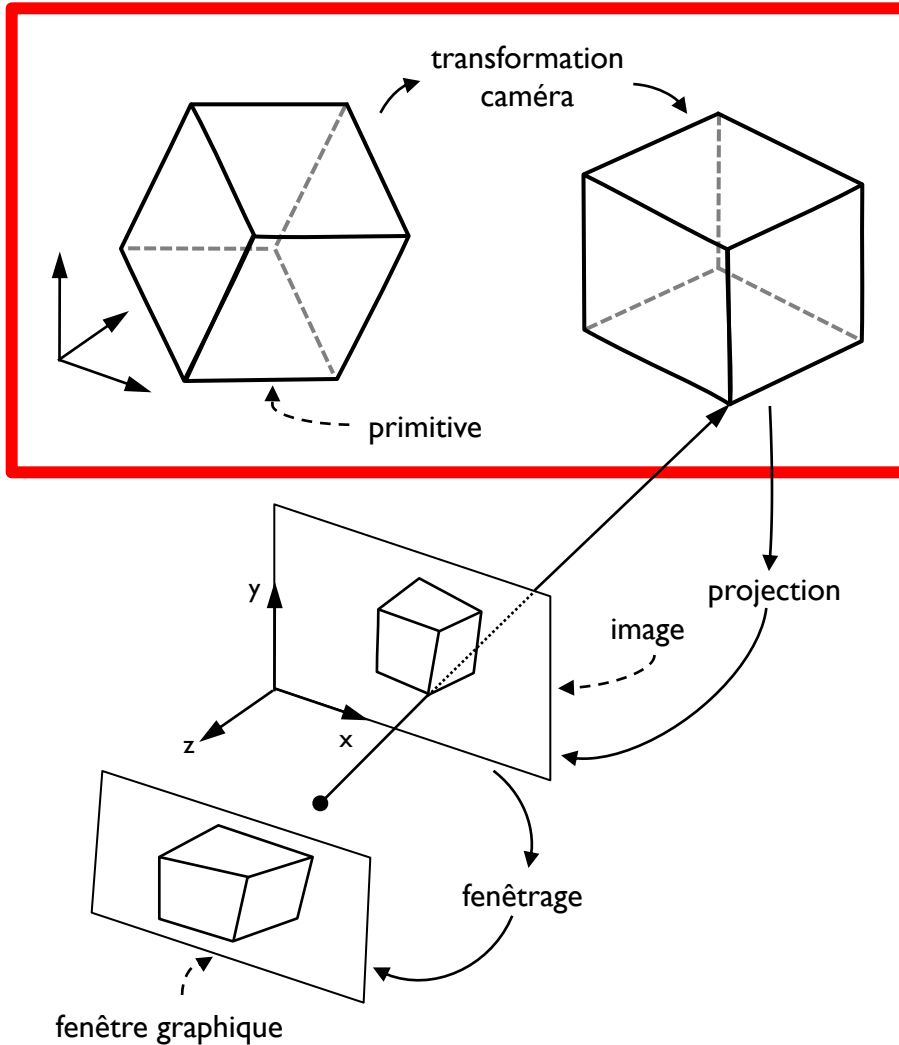
Viewport transform

Scan Conversion
(Rasterization)

Illumination
(Shading)

Per fragment operations
(visibility, blending)

Transformation caméra



Modeling
Transformations

Viewing Transformation
(Perspective / Orthographic)

Clipping

Viewport transform

Scan Conversion
(Rasterization)

Illumination
(Shading)

Per fragment operations
(visibility, blending)

« Look at »



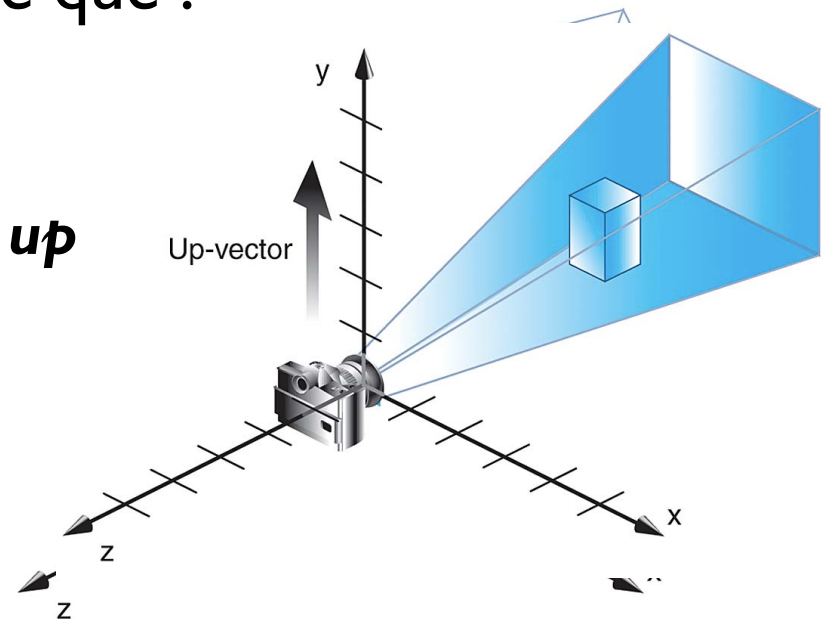
Entrées (en espace monde)

- **eye** : position de la caméra
- **at** : position du point de référence visé
- **up** : direction indiquant le « haut »

Sortie

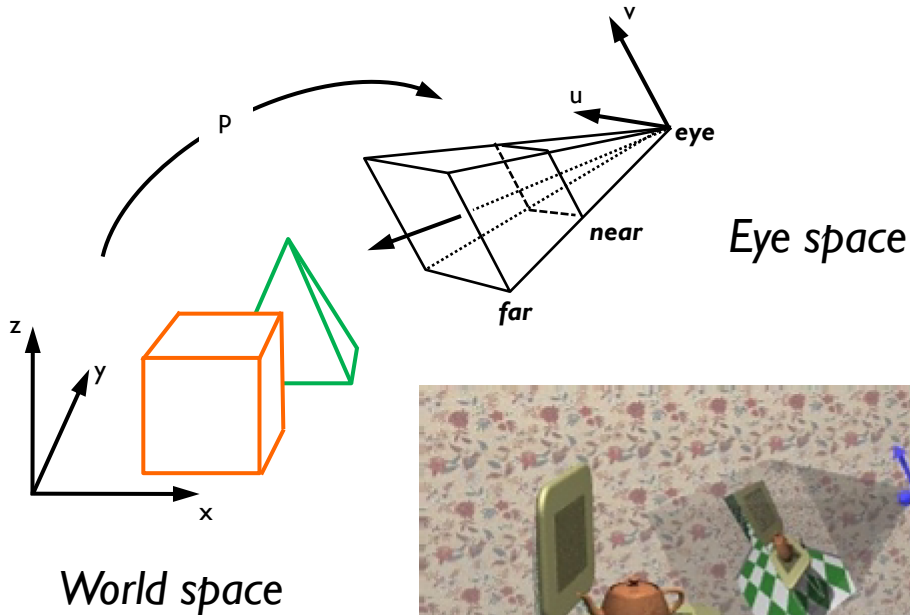
matrice de transformation telle que :

- *eye* soit à l'origine du repère
- l'axe **-z** du repère pointe vers **at**
- l'axe **y** du repère soit aligné avec **up**



Transformation caméra

Passage des **coordonnées du monde** à celles de **la caméra (eye space)**.



Modeling
Transformations

Viewing Transformation
(Perspective / Orthographic)

Clipping

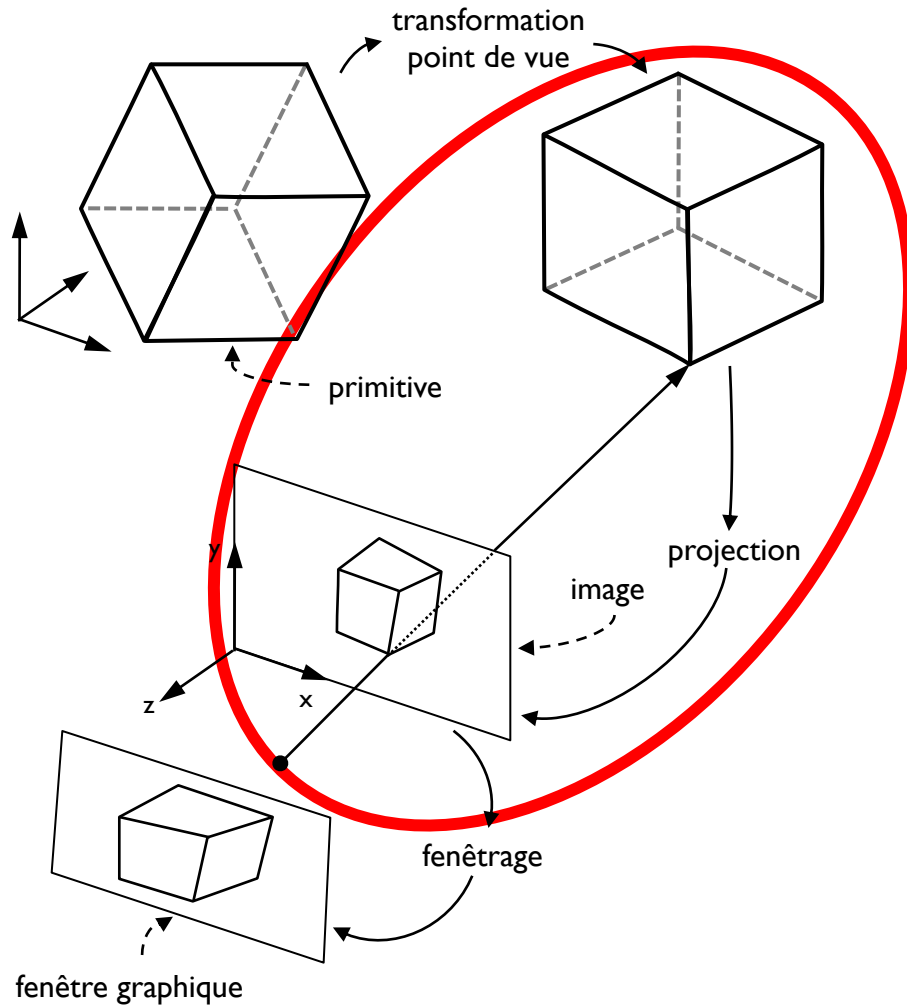
Viewport transform

Scan Conversion
(Rasterization)

Illumination
(Shading)

Per fragment operations
(visibility, blending)

Projections



Modeling
Transformations

Viewing Transformation
(Perspective / Orthographic)

Clipping

Viewport transform

Scan Conversion
(Rasterization)

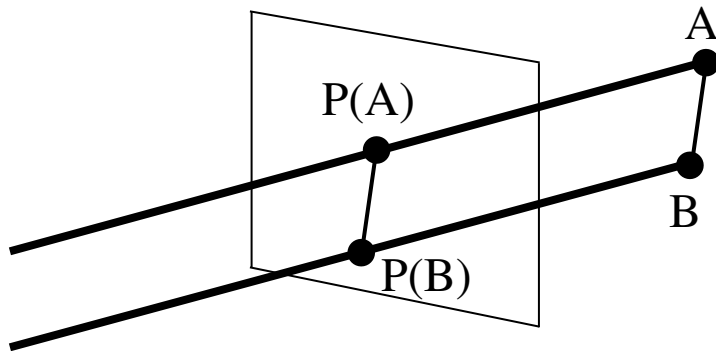
Illumination
(Shading)

Per fragment operations
(visibility, blending)

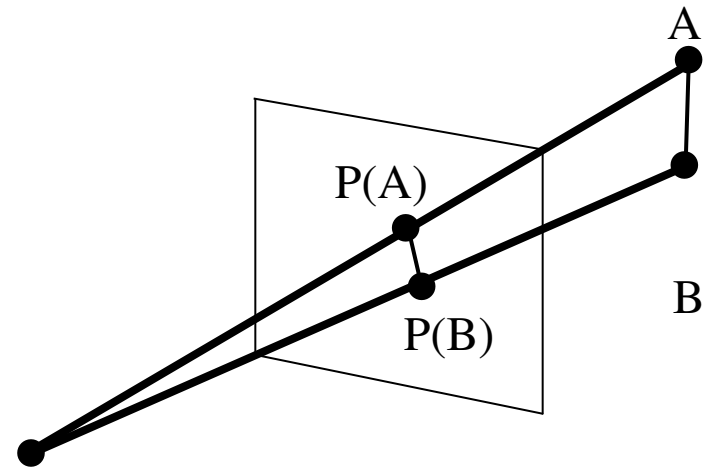
Projections

Utilisées en synthèse d'image et en vision par ordinateur
(modèles de caméras)

Deux grandes familles :



Projection **parallèle**



Projection **perspective**

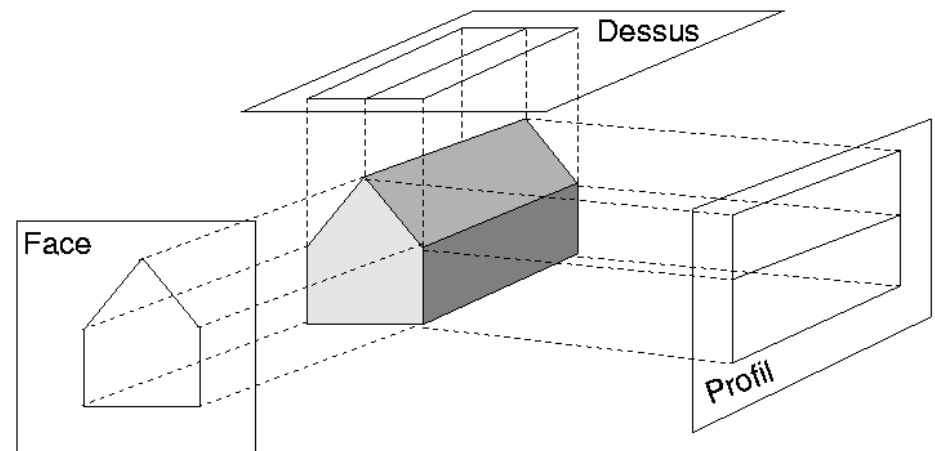
Projection parallèle

Projection **orthographique** lorsque la direction est **perpendiculaire** au plan de projection.

Projection **oblique** sinon.

Propriétés géométriques des projections parallèles

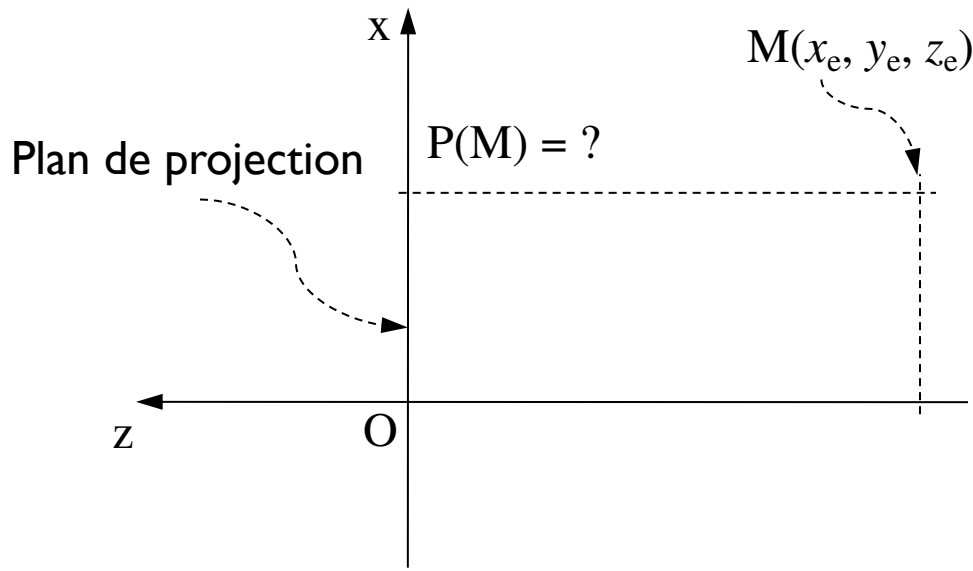
- Conservent le **parallélisme des droites**
- Conservent les **rapports des distances** selon une direction donnée



Projection parallèle

Matrice en coordonnées homogènes de la projection orthographique canonique :

$$P(x_e, y_e, z_e, w_e) = ?$$



Matrice de la projection orthographique sur xOy

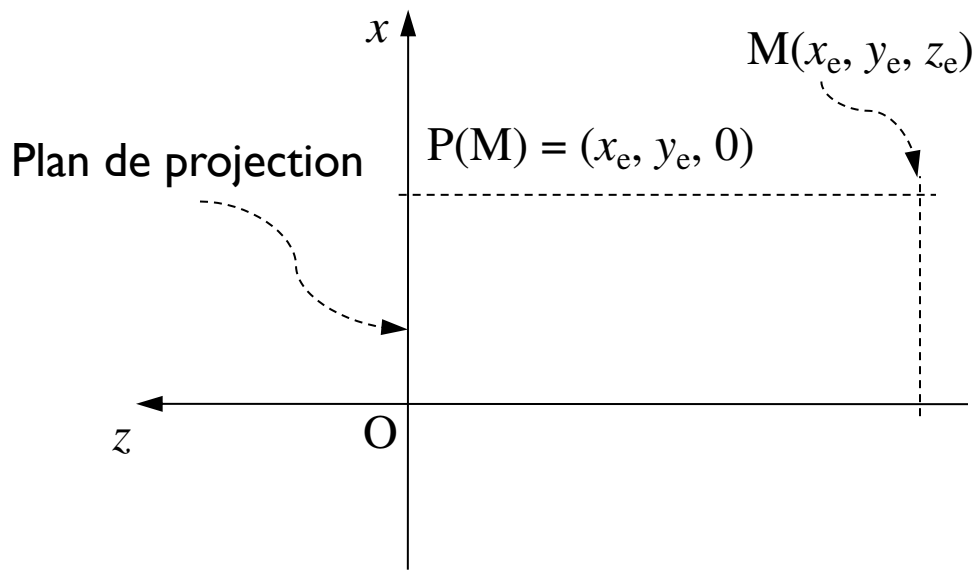
$$\begin{pmatrix} x_p \\ y_p \\ z_p \\ w_p \end{pmatrix} = \left[\begin{array}{c} \text{?} \end{array} \right] \begin{pmatrix} x_e \\ y_e \\ z_e \\ w_e \end{pmatrix}$$

$$P(x_e, y_e) = (x_p/w_p, y_p/w_p, z_p/w_p)$$

Projection parallèle

Matrice en coordonnées homogènes de la projection orthographique canonique :

$$P(x_e, y_e, z_e, w_e) = (x_e, y_e, 0, 1)$$



Matrice de la projection orthographique sur xOy

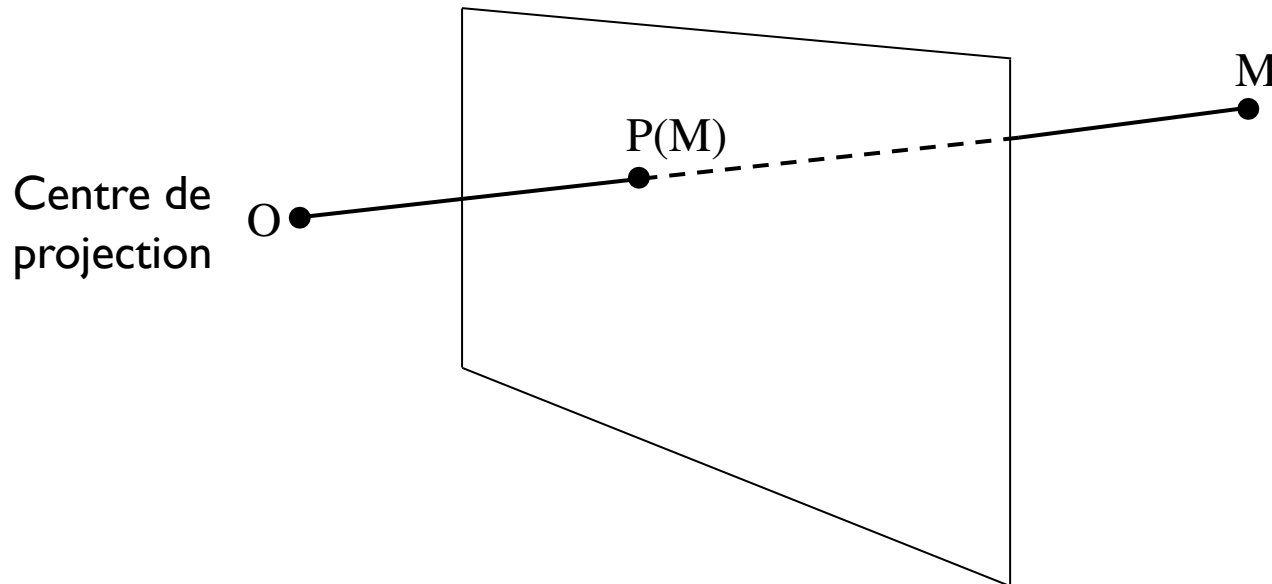
$$\begin{pmatrix} x_p \\ y_p \\ z_p \\ w_p \end{pmatrix} = \begin{pmatrix} 1 & 0 & 0 & 0 \\ 0 & 1 & 0 & 0 \\ 0 & 0 & 0 & 0 \\ 0 & 0 & 0 & 1 \end{pmatrix} \begin{pmatrix} x_e \\ y_e \\ z_e \\ w_e \end{pmatrix}$$

$$P(x_e, y_e) = (x_p/w_p, y_p/w_p, z_p/w_p)$$

Projection perspective

L'image de M sur le plan P par rapport au centre O est **l'intersection de la droite OM avec le plan P**

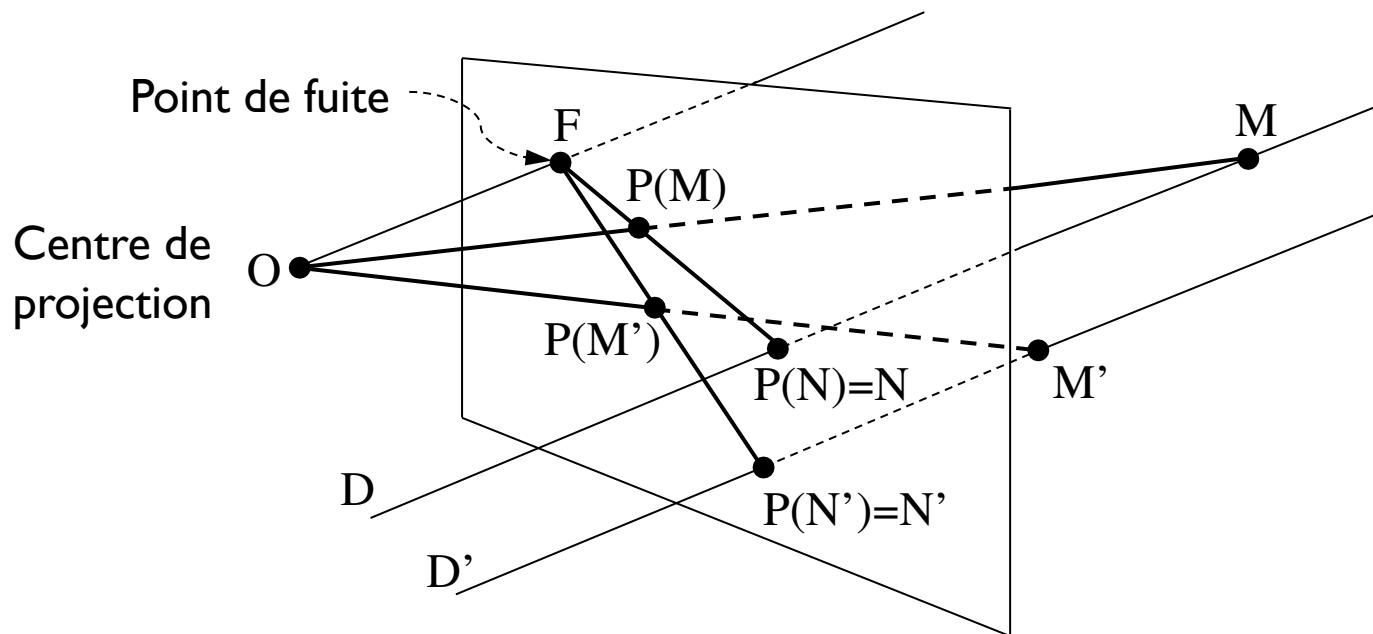
Remarque : Une projection en perspective dont le centre de projection est à l'infini est une projection parallèle



Projection perspective

Propriétés géométriques

- Ne **conservent pas le parallélisme** des droites non parallèles au plan de projection

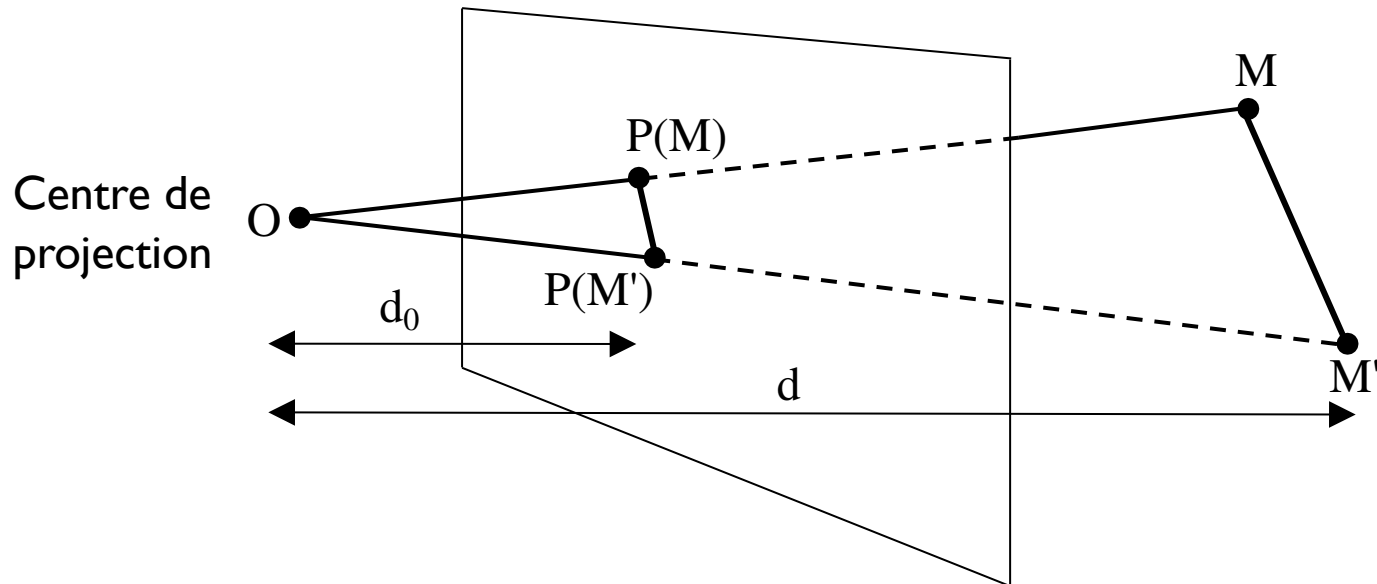


Projection perspective

Propriétés géométriques

- Ne conservent pas le parallélisme des droites non parallèles au plan de projection
- La **taille** d'un objet est **inversement proportionnelle** à sa distance au point de projection :

$$|P(M) P(M')| = |MM'| d_0/d$$

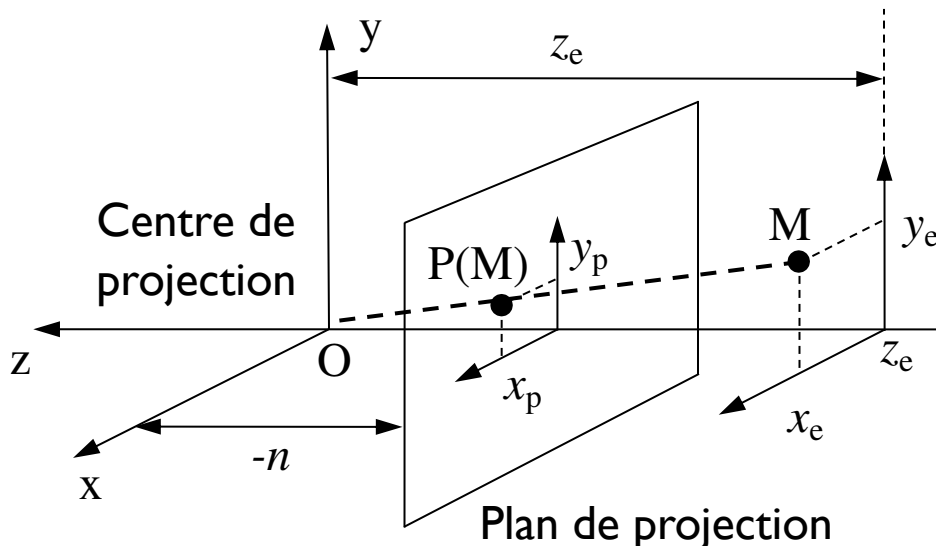


Projection perspective

Calcul des coordonnées projetées en perspective

- On se place dans le cas d'une projection canonique : centre $O(0,0,0)$ et plan de projection parallèle à xOy , $z=-n$
- **Coordonnées dans le plan de projection**

$$P(x_e, y_e) = ?$$



Matrice de la projection
de centre O sur le plan $z=-n$

$$\begin{pmatrix} x_p \\ y_p \\ z_p \\ w_p \end{pmatrix} = \left(\text{?} \right) \begin{pmatrix} x_e \\ y_e \\ z_e \\ w_e \end{pmatrix}$$

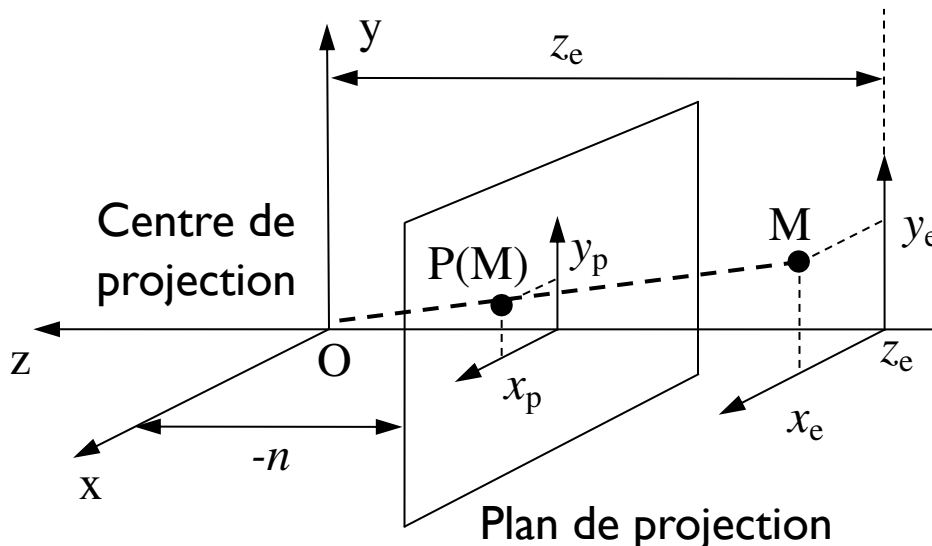
$$P(x_e, y_e) = (x_p/w_p, y_p/w_p, z_p/w_p)$$

Projections perspectives

Calcul des coordonnées projetées en perspective

- On se place dans le cas d'une projection canonique : centre $O(0,0,0)$ et plan de projection parallèle à xOy , $z=-n$
- **Coordonnées dans le plan de projection**

$$P(x_e, y_e) = (x_p, y_p) = ((n x_e) / -z_e, (n y_e) / -z_e)$$



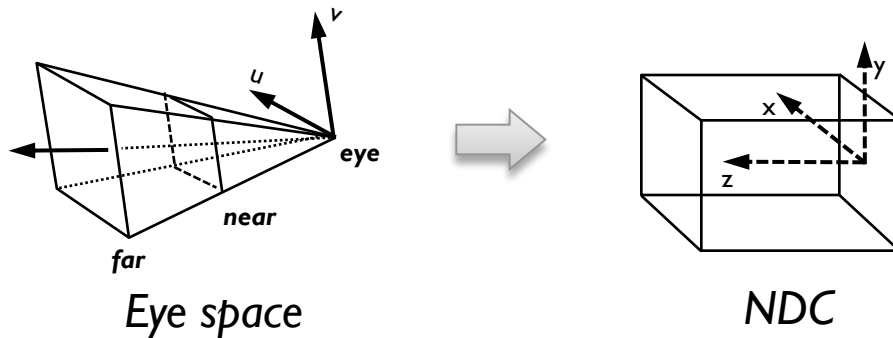
Matrice de la projection
de centre O sur le plan $z=-n$

$$\begin{pmatrix} x_p \\ y_p \\ z_p \\ w_p \end{pmatrix} = \begin{pmatrix} 1 & 0 & 0 & 0 \\ 0 & 1 & 0 & 0 \\ 0 & 0 & 1 & 0 \\ 0 & 0 & 1/n & 0 \end{pmatrix} \begin{pmatrix} x_e \\ y_e \\ z_e \\ w_e \end{pmatrix}$$

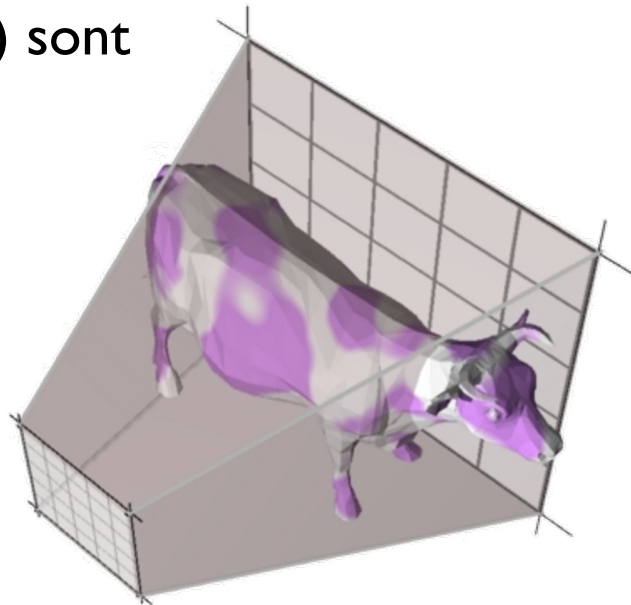
$$P(x_e, y_e) = (x_p/w_p, y_p/w_p, z_p/w_p)$$

Clipping

Passage en **coordonnées normalisées**



Les portions en dehors du volume de vue (*frustum*) sont coupées.



Modeling
Transformations

Viewing Transformation
(Perspective / Orthographic)

Clipping

Viewport transform

Scan Conversion
(Rasterization)

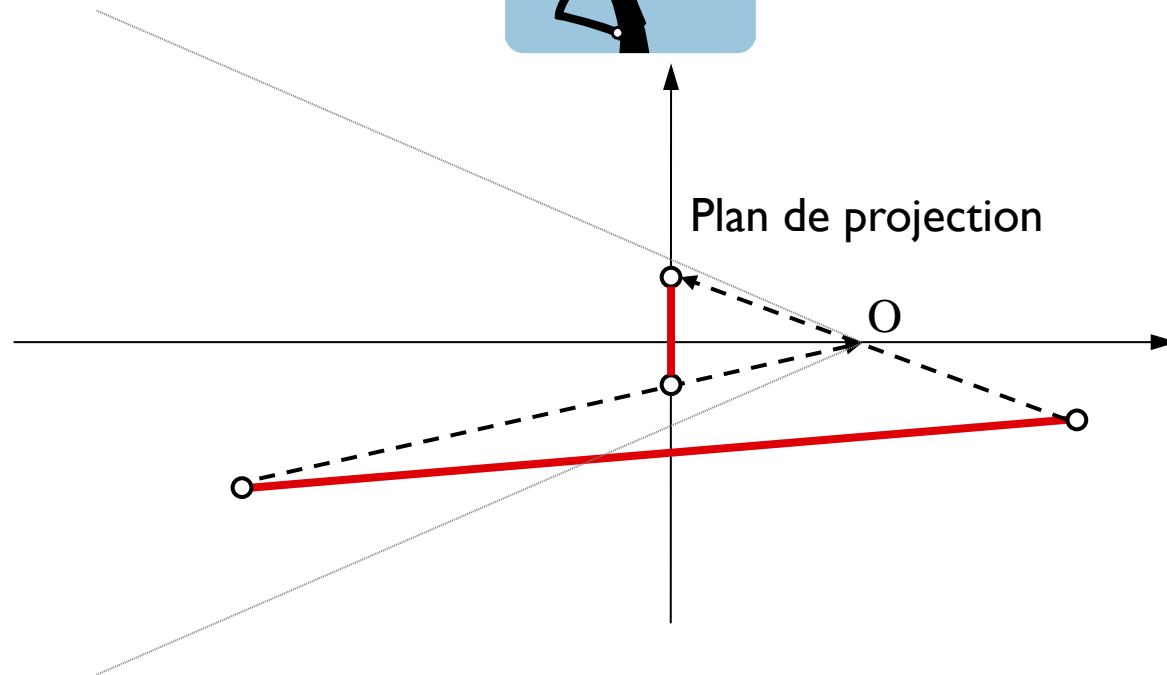
Illumination
(Shading)

Per fragment operations
(visibility, blending)

Clipping

Projection perspective = division par z

Que se passe-t-il quand un point est derrière la caméra ?
Sur le plan de projection ?

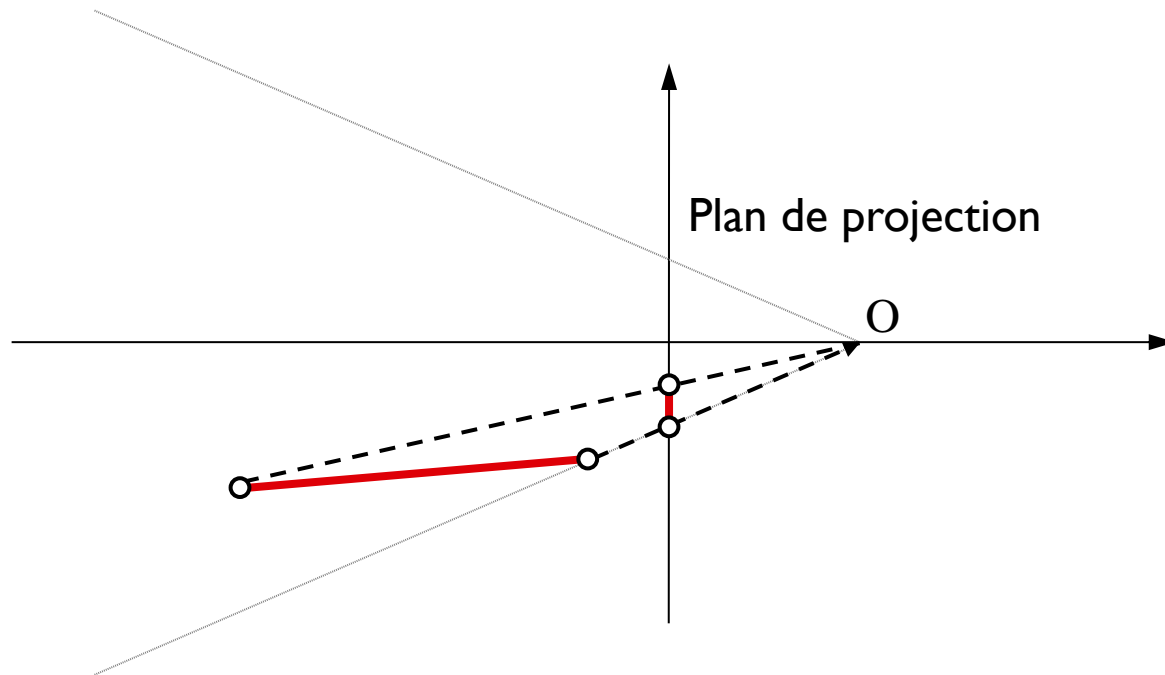


Clipping

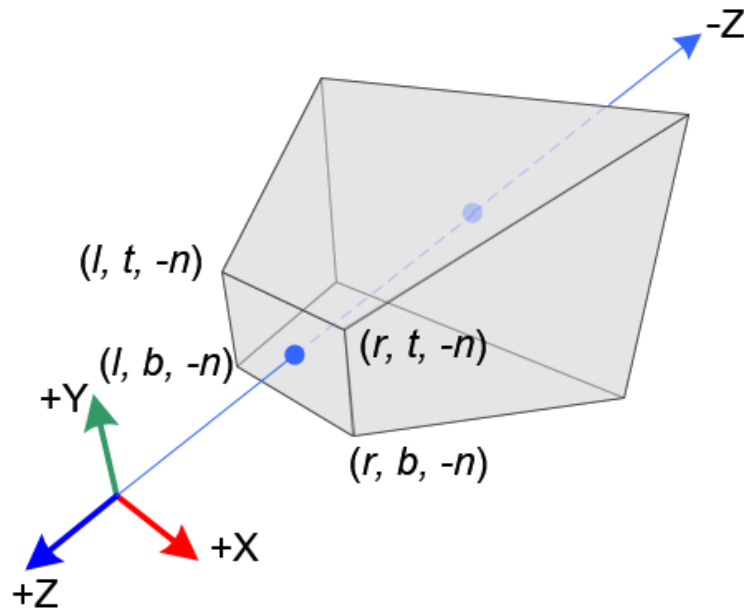
Projection perspective = division par z

Que se passe-t-il quand un point est derrière la caméra ?
Sur le plan de projection ?

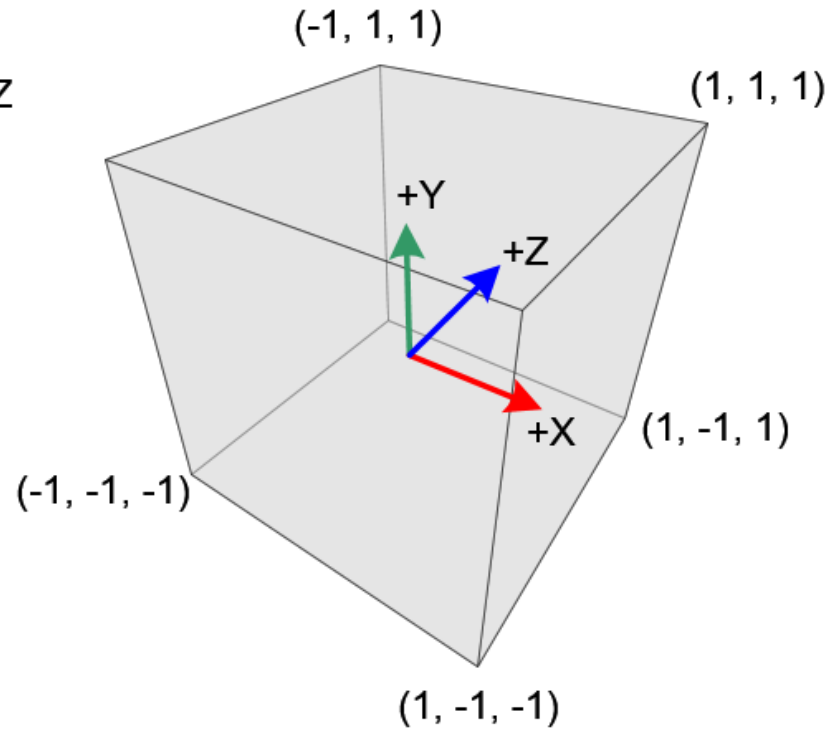
⇒ **Solution : *clipping***



Coordonnées normalisées



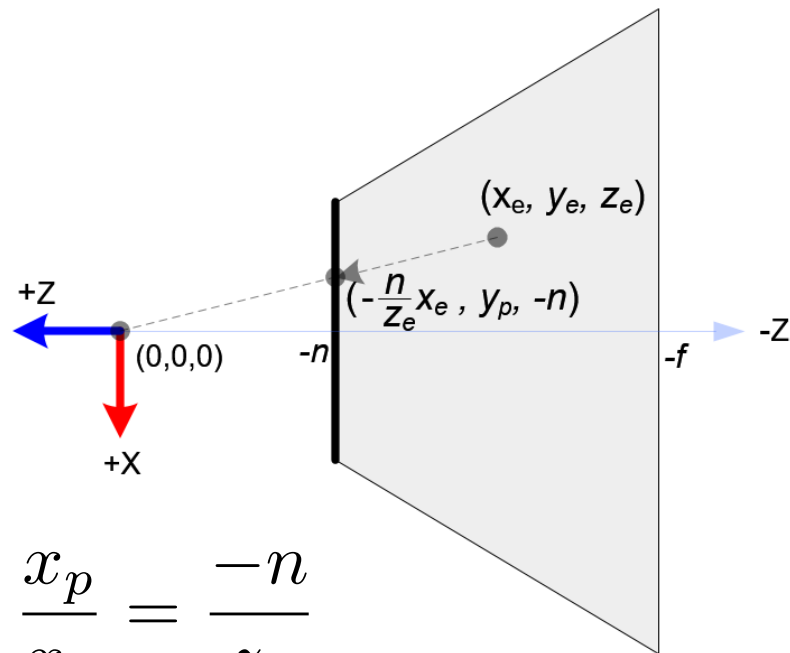
Frustum perspective



Normalized Device Coordinates (NDC)

Coordonnées normalisées

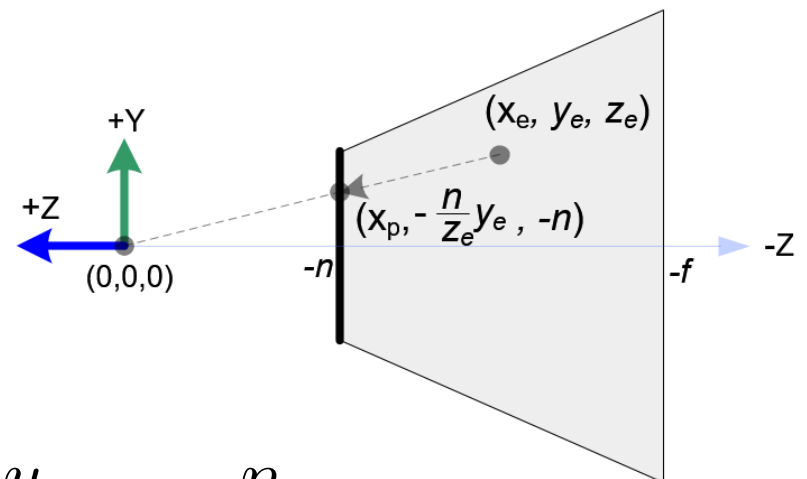
Vue du dessus



$$\frac{x_p}{x_e} = \frac{-n}{z_e}$$

$$x_p = \frac{n x_e}{-z_e}$$

Vue de côté

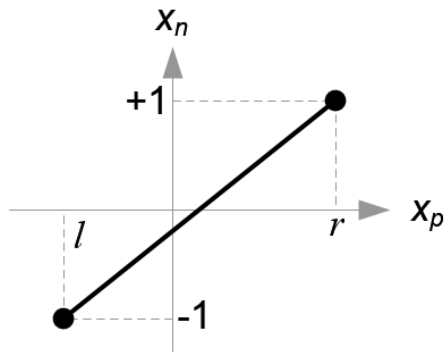


$$\frac{y_p}{y_e} = \frac{-n}{z_e}$$

$$y_p = \frac{n y_e}{-z_e}$$

Coordonnées normalisées

$$[l, r] \Rightarrow [-1, 1]$$



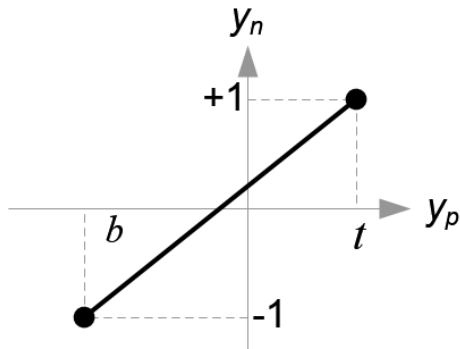
$$x_n = \frac{1 - (-1)}{r - l} x_p + \beta$$

$$1 = \frac{2r}{r - l} \beta \quad (x_p = r, x_n = 1)$$

$$\Rightarrow \beta = 1 - \frac{2r}{r - l} = -\frac{r + l}{r - l}$$

$$\Rightarrow x_n = \frac{2x_p - r - l}{r - l}$$

$$[b, t] \Rightarrow [-1, 1]$$



Similairement :

$$y_n = \frac{2y_p - t - b}{t - b}$$

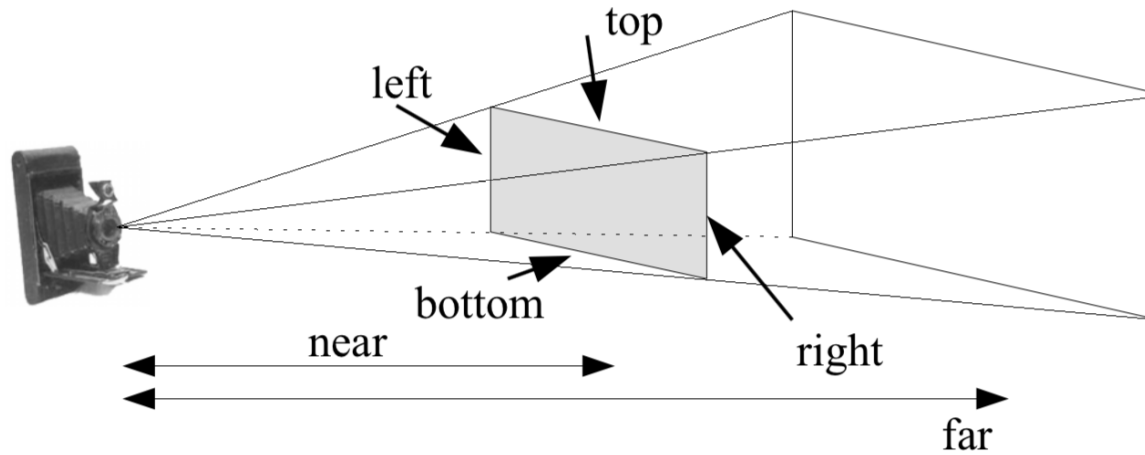
Coordonnées normalisées

$$\begin{aligned}x_n &= \frac{2x_p - r - l}{r - l} \quad \text{or } x_p = \frac{nx_e}{-z_e} \\ &= \frac{2\frac{nx_e}{-z_e} - r - l}{r - l} \\ &= \frac{\frac{2n}{r - l}x_e + \frac{r + l}{r - l}z_e}{-z_e} = x_c\end{aligned}$$

Similairement :

$$y_n = \frac{\frac{2n}{t - b}y_e + \frac{t + b}{t - b}z_e}{-z_e} = y_c$$

Coordonnées normalisées



$$\begin{pmatrix} x_c \\ y_c \\ z_c \\ w_c \end{pmatrix} = \begin{pmatrix} \frac{2n}{r-l} & 0 & \frac{r+l}{r-l} & 0 \\ 0 & \frac{2n}{t-b} & \frac{t+b}{t-b} & 0 \\ 0 & 0 & A & B \\ 0 & 0 & -1 & 0 \end{pmatrix} \begin{pmatrix} x_e \\ y_e \\ z_e \\ w_e \end{pmatrix}$$

$$z_n = \frac{z_c}{w_c} = \frac{Az_e + B}{-z_e}$$

http://www.songho.ca/opengl/gl_projectionmatrix.html

Coordonnées normalisées

$$[-n, -f] \Rightarrow [-1, 1]$$

$$z_n = \frac{Az_e + B}{-z_e} \Rightarrow \begin{cases} \frac{-An + B}{n} = -1 \\ \frac{-Af + B}{f} = 1 \end{cases} \Leftrightarrow \begin{cases} -An + B = -n & (1) \\ -Af + B = f & (2) \end{cases}$$

$$(1) \Rightarrow B = An - n \quad (3)$$

$$(2)+(3) \Rightarrow -Af + (An - n) = f$$

$$\Leftrightarrow -(f - n)A = f + n$$

$$\Leftrightarrow A = -\frac{f + n}{f - n} \quad (4)$$

Coordonnées normalisées

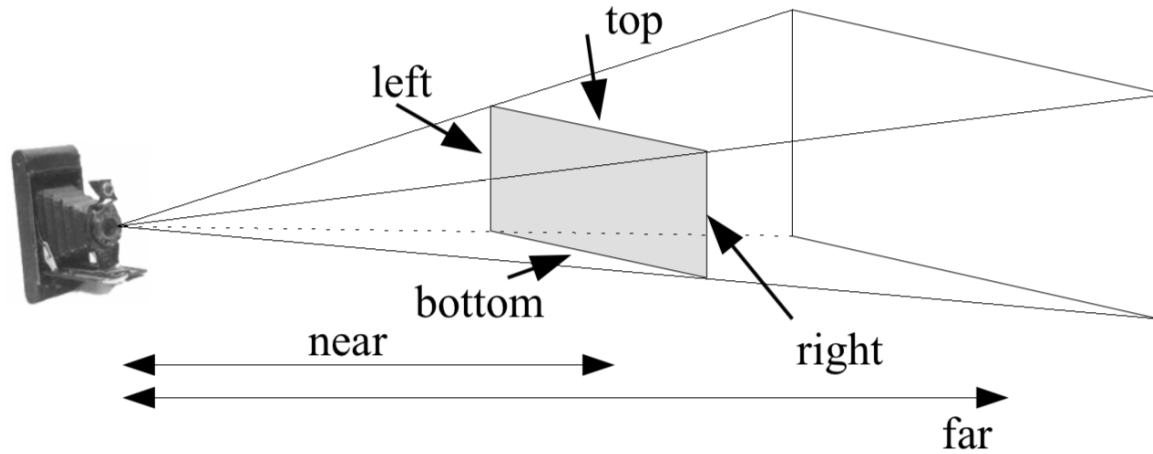
$$(4) \quad A = -\frac{f+n}{f-n} \quad \text{et} \quad (1) \quad -An + B = -n$$

$$\Rightarrow \left(\frac{f+n}{f-n} \right) n + B = -n$$

$$\begin{aligned} \Rightarrow B &= -n - \left(\frac{f+n}{f-n} \right) n = - \left(1 + \frac{f+n}{f-n} \right) n = - \left(1 + \frac{f-n+f+n}{f-n} \right) n \\ &= -\frac{2fn}{f-n} \end{aligned}$$

$$\text{D'où : } z_n = \frac{Az_e + B}{-z_e} \Rightarrow z_n = \frac{-\frac{f+n}{f-n}z_e + -\frac{2fn}{f-n}}{-z_e}$$

Coordonnées normalisées

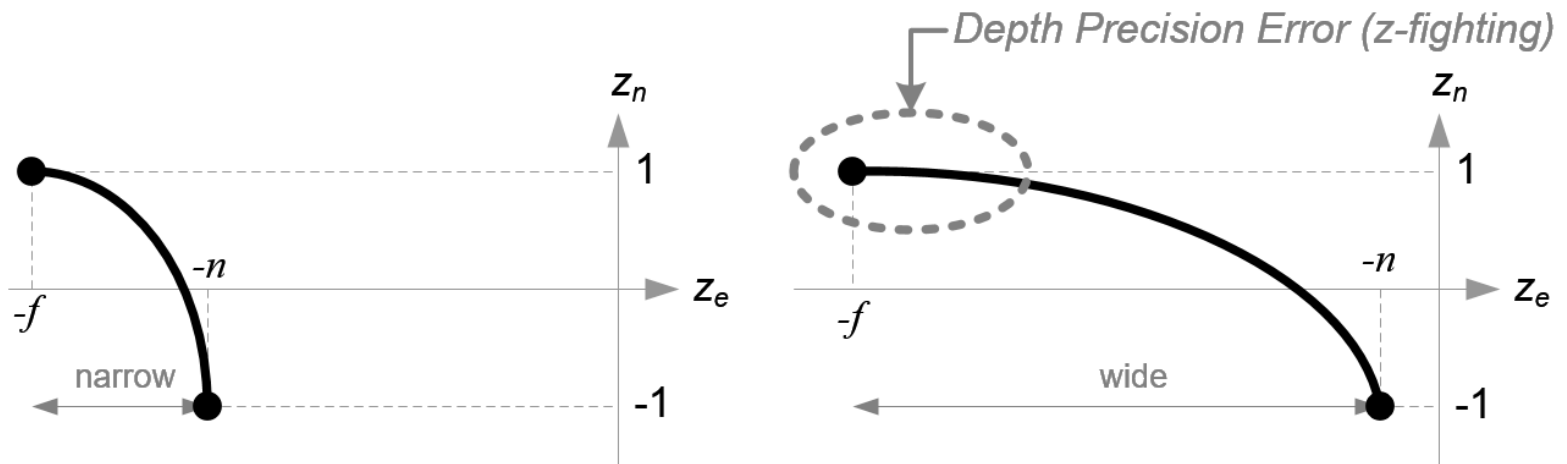


$$\begin{pmatrix} \frac{2n}{r-l} & 0 & \frac{r+l}{r-l} & 0 \\ 0 & \frac{2n}{t-b} & \frac{t+b}{t-b} & 0 \\ 0 & 0 & -\frac{f+n}{f-n} & -\frac{2fn}{f-n} \\ 0 & 0 & -1 & 0 \end{pmatrix}$$

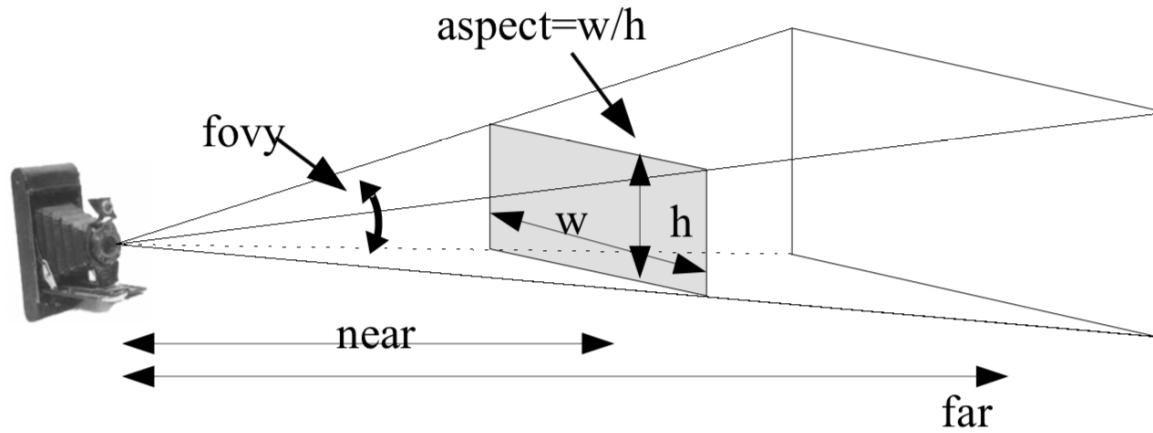
Projection perspective

Relation non-linéaire en z

⇒ grande précision près du plan **near**
mais faible précision au niveau du plan **far**

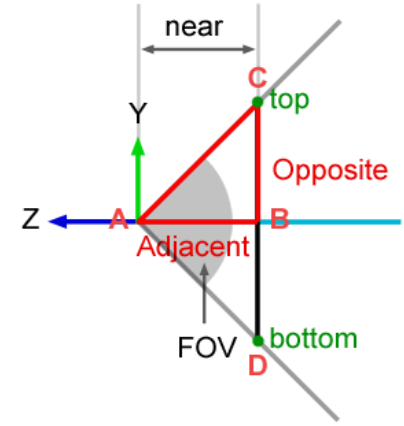


Projection perspective



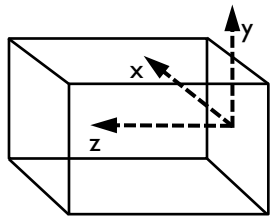
$$\tan\left(\frac{\text{fovy}}{2}\right) = \frac{\text{opposite}}{\text{adjacent}} = \frac{t}{n}$$

$$\Rightarrow \begin{cases} t = \tan\left(\frac{\text{fovy}}{2}\right) \times n \\ b = -t \\ r = -t \times \text{aspect} \\ l = -r \end{cases}$$

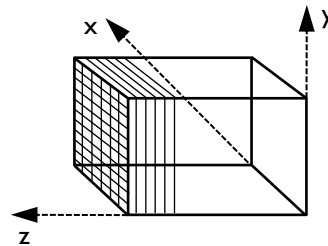


Viewport

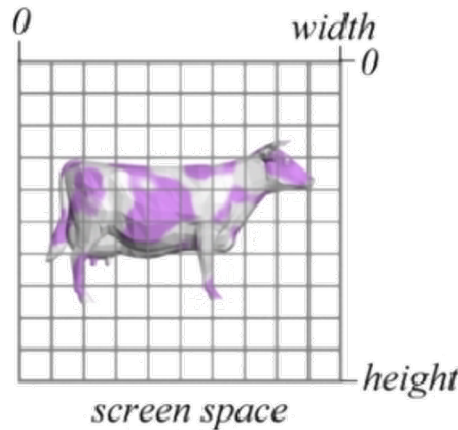
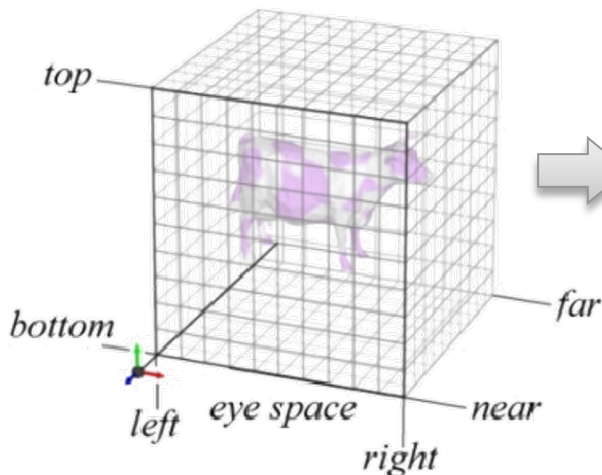
Les primitives 3D sont projetées sur l'image 2D (*screen space*)



NDC



Screen Space



Modeling Transformations

Viewing Transformation (Perspective / Orthographic)

Clipping

Viewport transform

Scan Conversion (Rasterization)

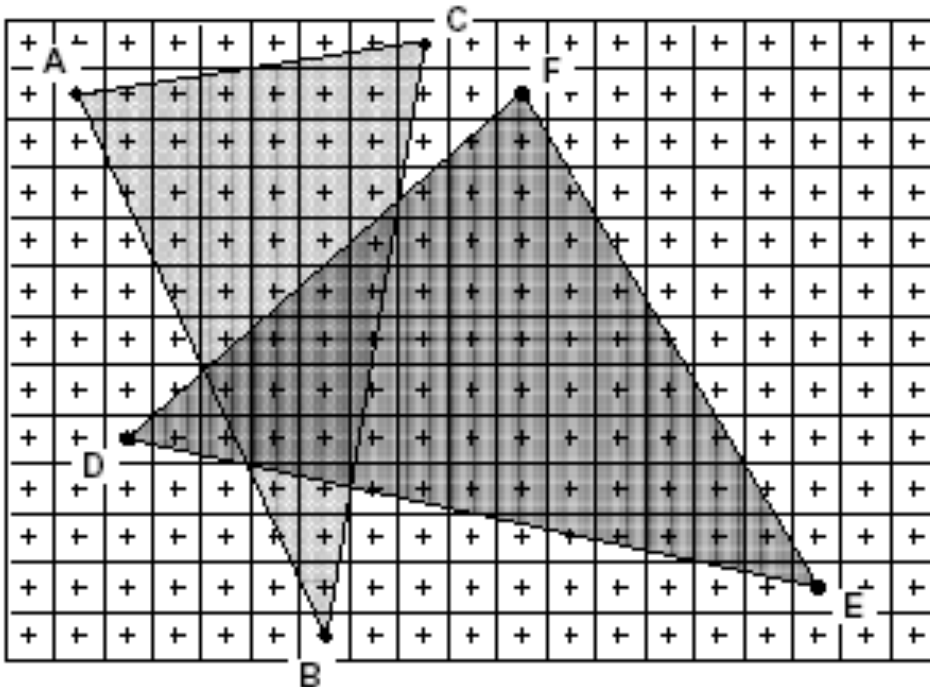
Illumination (Shading)

Per fragment operations (visibility, blending)

Rastérisation

Découpe de la primitive 2D en **pixels**

Interpolation des valeurs connues aux sommets : couleur, profondeur,...



Modeling
Transformations

Viewing Transformation
(Perspective / Orthographic)

Clipping

Viewport transform

Scan Conversion
(Rasterization)

Illumination
(Shading)

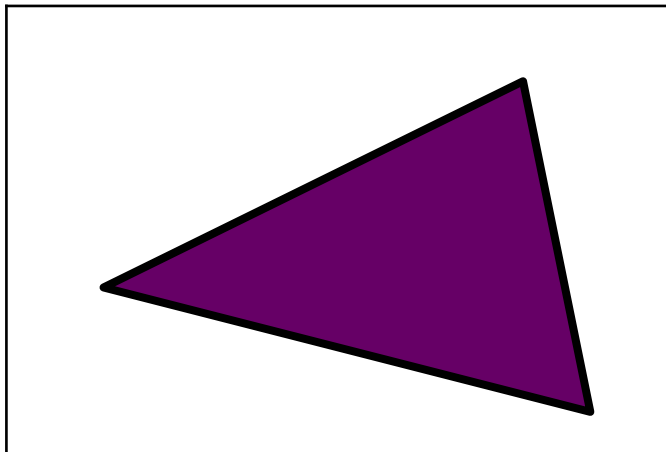
Per fragment operations
(visibility, blending)

Rastérisation

Un **fragment** = un **pixel** dans l'image finale

Les attributs (couleur, coordonnées de textures, profondeur) sont assignés à chaque fragment

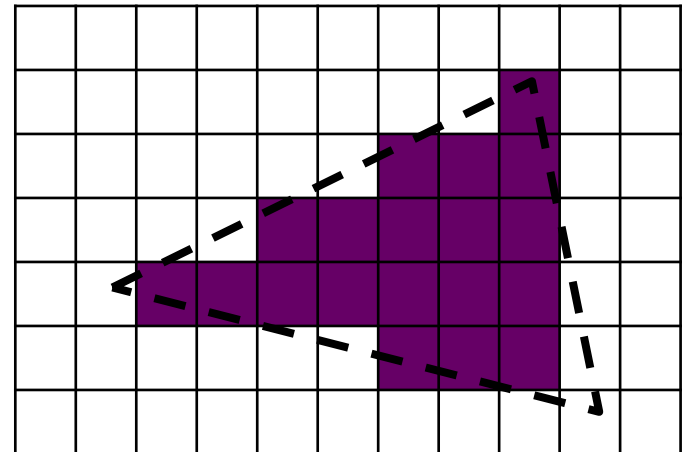
Ces informations sont **interpolées** à partir des valeurs aux sommets



Représentation **vectorielle**



Rastérisation



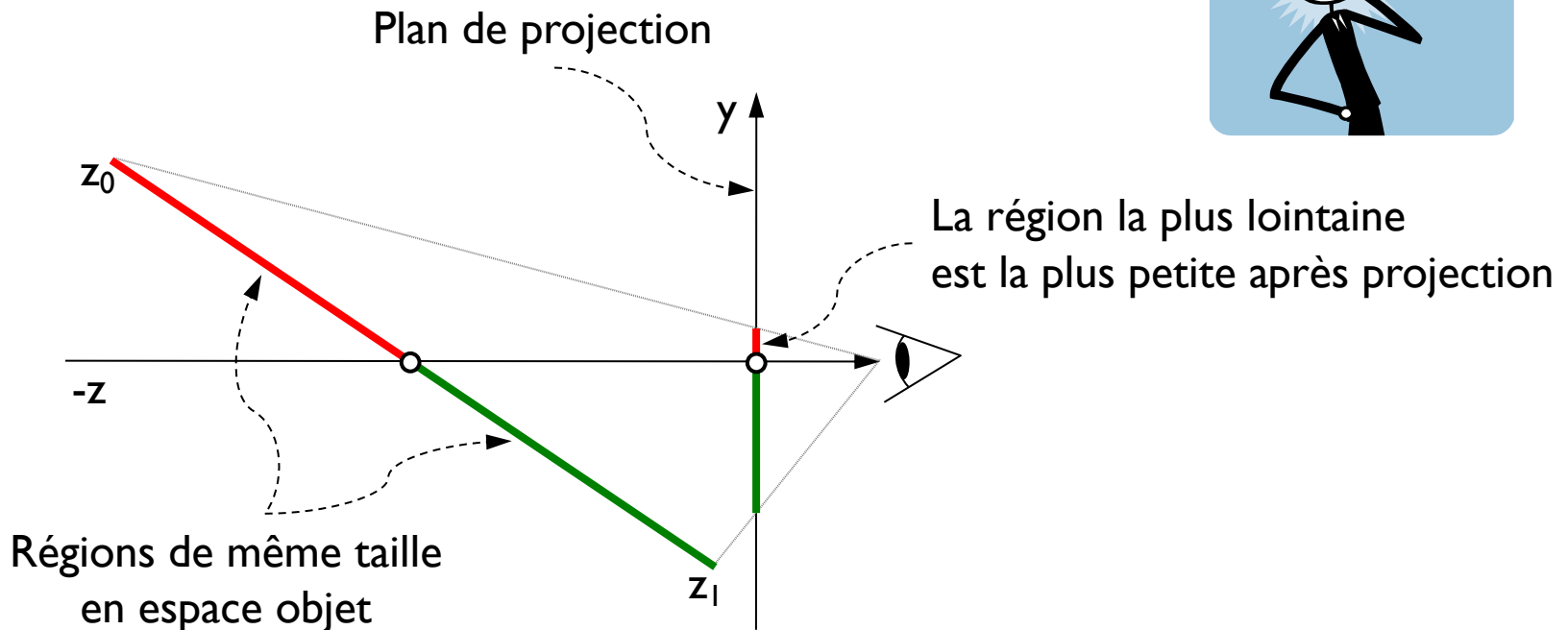
Représentation **matricielle**

Interpolation des attributs

On doit interpoler les attribut définis **aux sommets** (couleurs, normales, coordonnées de textures...)

Interpolation linéaire en espace objet

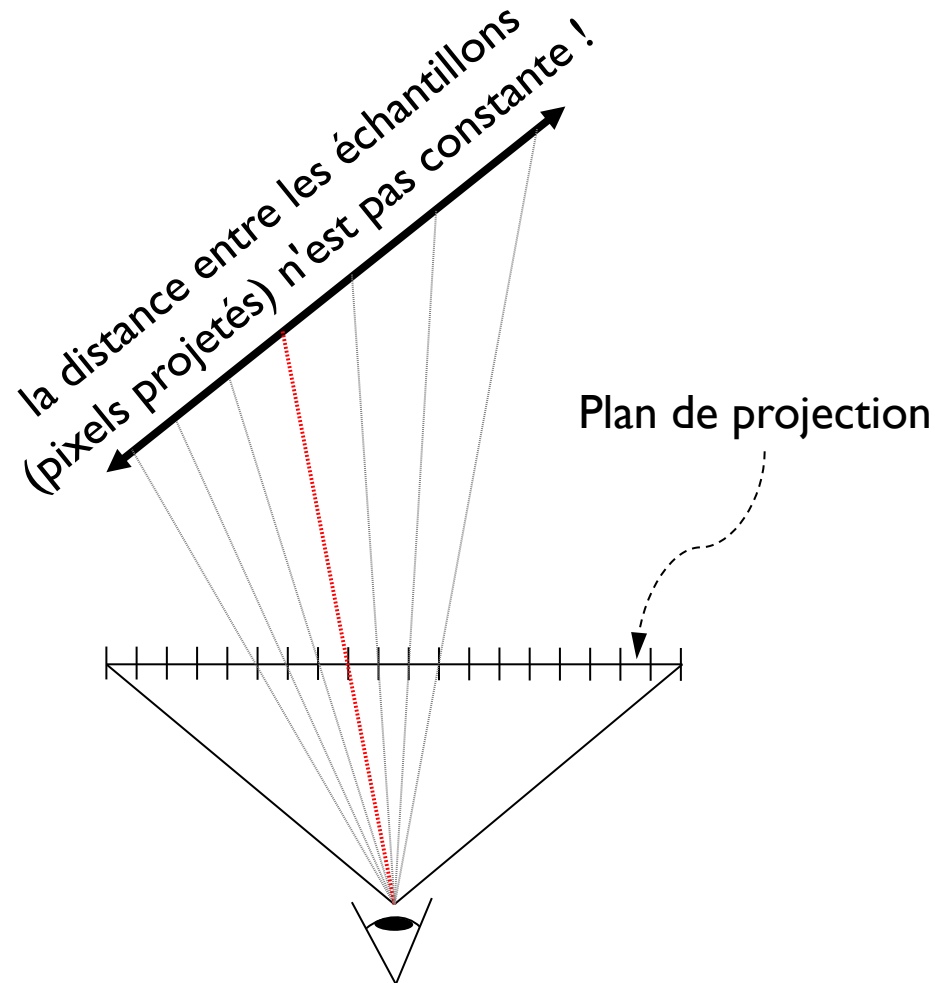
⇒ Est-elle linéaire en espace écran ?



Attention à la perspective

La projection perspective n'est pas linéaire !

⇒ On ne peut pas interpoler linéairement dans le plan image 2D



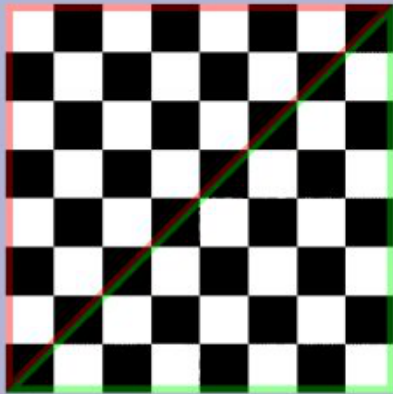
Attention à la perspective !

Solution : interpoler en considérant la profondeur,

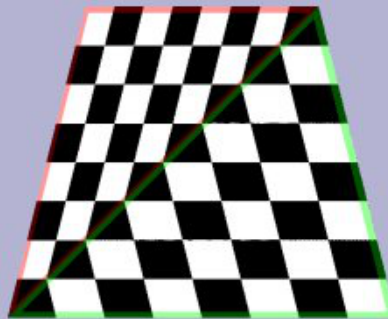
⇒ $1/z$ et u/z sont linéaires en espace écran

⇒ calculs en **coordonnées homogènes**

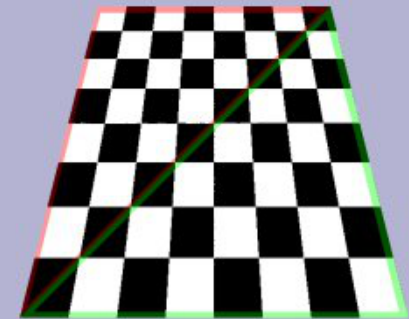
Interpolation
à z constant



Interpolation linéaire
en espace image



Prise en compte
de la perspective



$$u_{\alpha} = (1 - \alpha)u_0 + \alpha u_1$$
$$\alpha \in [0, 1]$$

$$u_{\alpha} = \frac{(1 - \alpha) \frac{u_0}{z_0} + \alpha \frac{u_1}{z_1}}{(1 - \alpha) \frac{1}{z_0} + \alpha \frac{1}{z_1}}$$

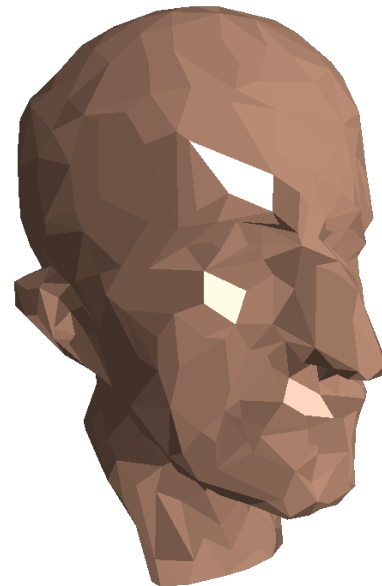
Interpolation des attributs

Contrôle de l'interpolation en GLSL

```
smooth      in vec3 color; // interpolation lisse par défaut
flat        in vec3 color; // copie la valeur du 1er sommet
noperspective in vec3 color; // interpolation linéaire
```



smooth

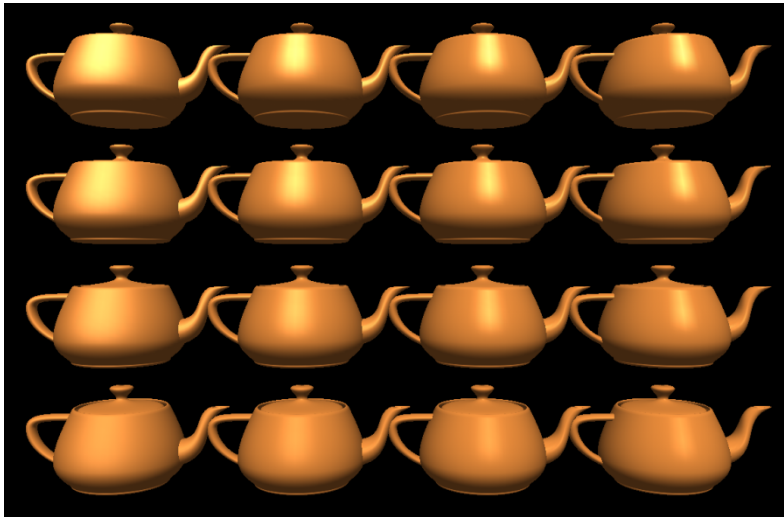


flat

Illumination

Les primitives sont éclairées selon leur **matériau** et les **sources de lumière**.

Les modèles d'éclairage sont **locaux**
⇒ le calcul est effectué **par primitive**.



Modeling
Transformations

Viewing Transformation
(Perspective / Orthographic)

Clipping

Viewport transform

Scan Conversion
(Rasterization)

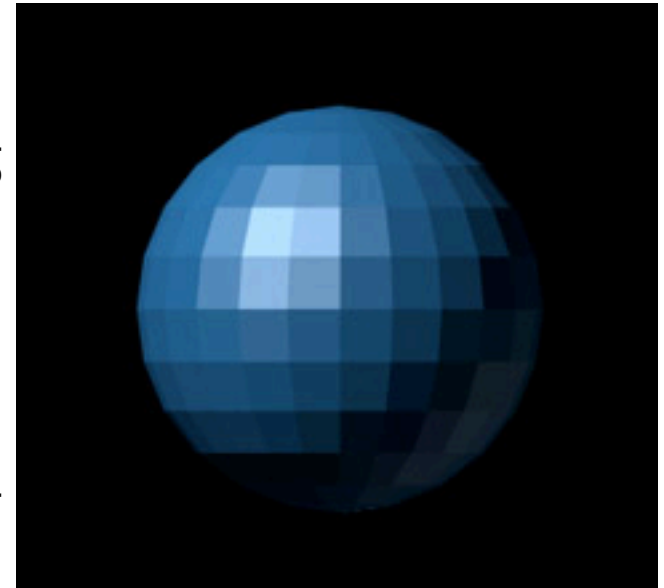
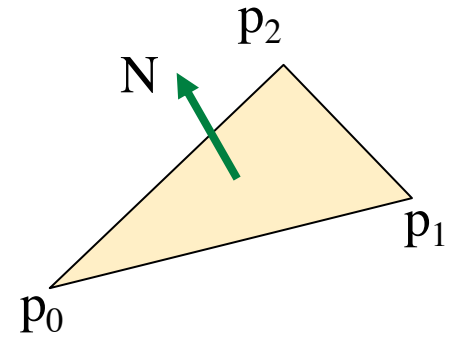
Illumination
(Shading)

Per fragment operations
(visibility, blending)

Flat shading

Calcul des valeurs d'intensité **par face**

- Calculer une seule valeur d'illumination pour la face
- Ex. : milieu de la face, normale est celle du plan contenant la face $N =$

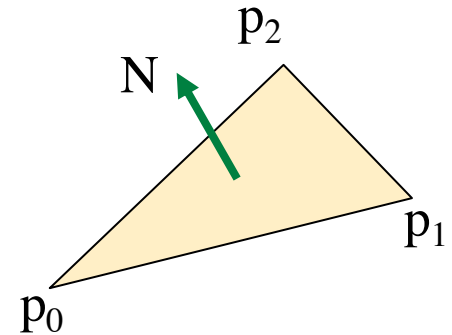


<http://unit20alistair2.blogspot.fr/>

Flat shading

Calcul des valeurs d'intensité **par face**

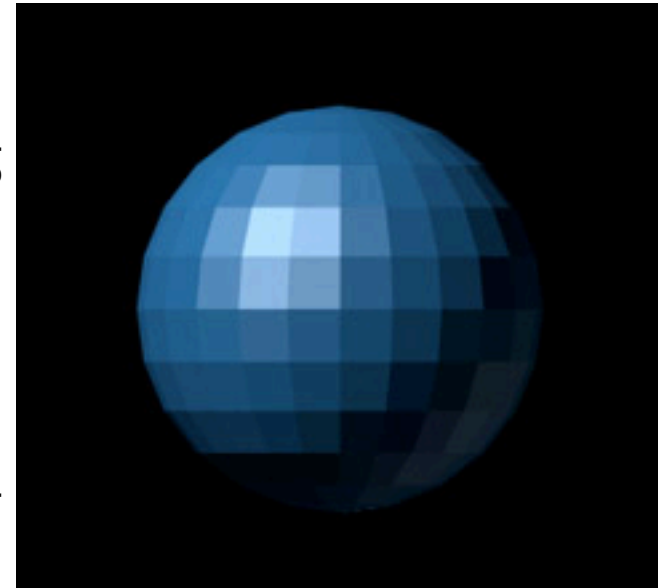
- Calculer une seule valeur d'illumination pour la face
- Ex. : milieu de la face, normale est celle du plan contenant la face $\mathbf{N} = (\mathbf{p}_1 - \mathbf{p}_0) \times (\mathbf{p}_2 - \mathbf{p}_0)$



Approche **valide quand** :

- la source lumineuse est à l'infini
- la projection est orthographique
- la surface est composée de faces polygonales uniquement

<http://unit20alistair2.blogspot.fr/>

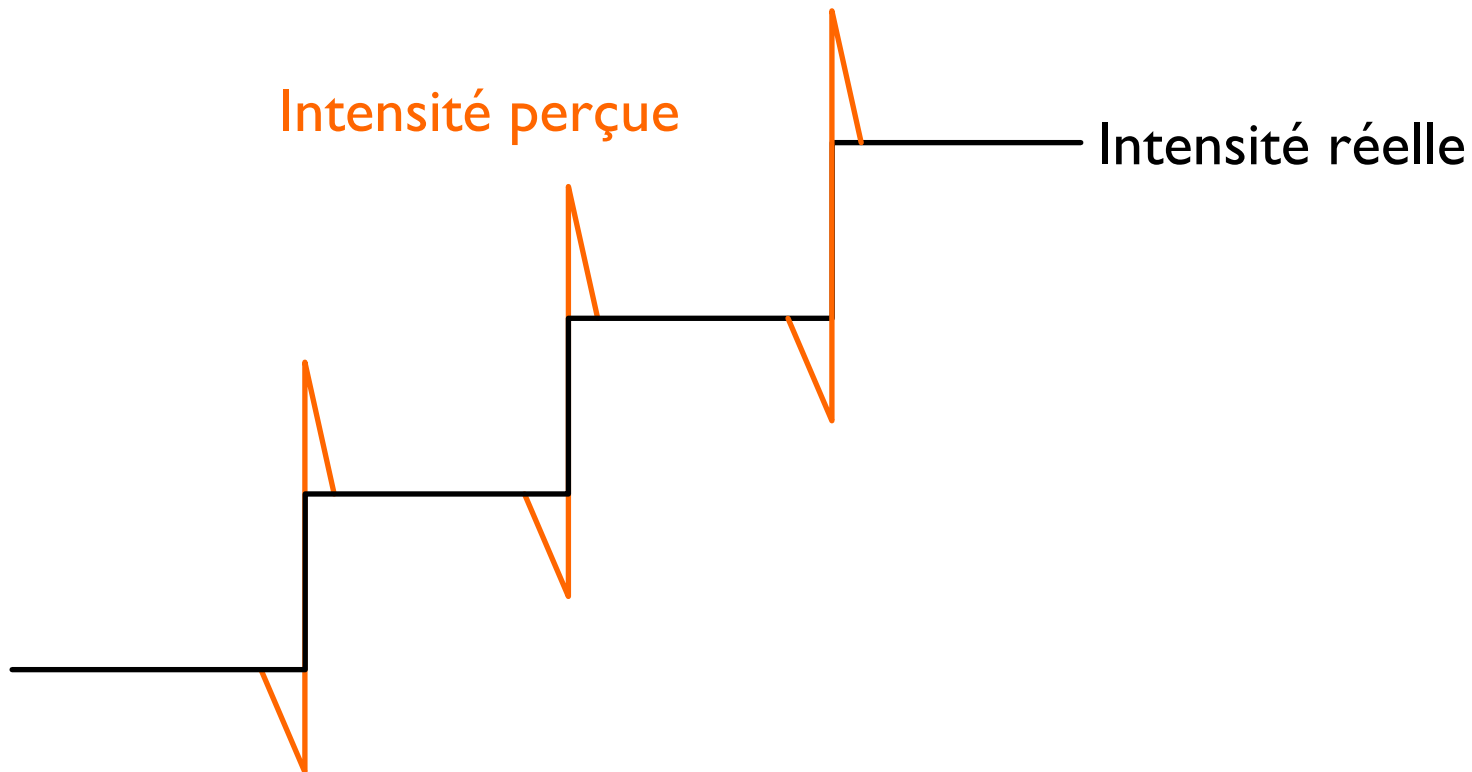


Flat shading

Problème : discontinuités entre les faces

L'œil les perçoit très bien

⇒ effet de « **Mach Banding** »



« Mach Banding »

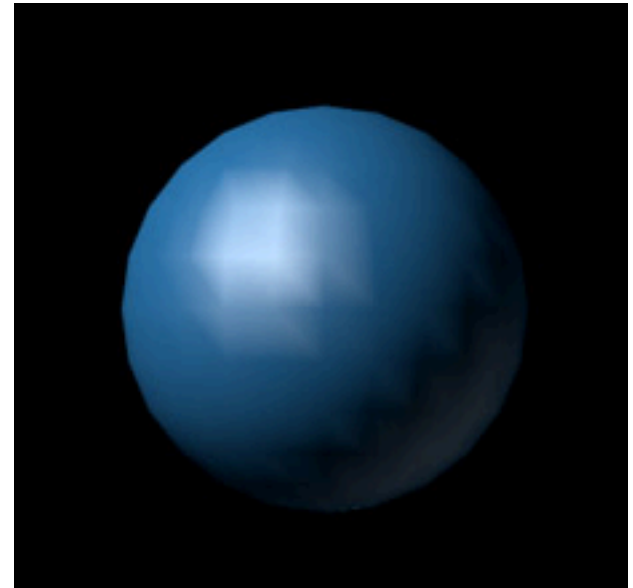


Gouraud shading

Interpolation des valeurs d'intensité calculées **aux sommets** de la face

1. Calcul des normales aux sommets
2. Calcul des intensités (couleurs) aux sommets
3. Interpolation des intensité avec les coordonnées barycentriques

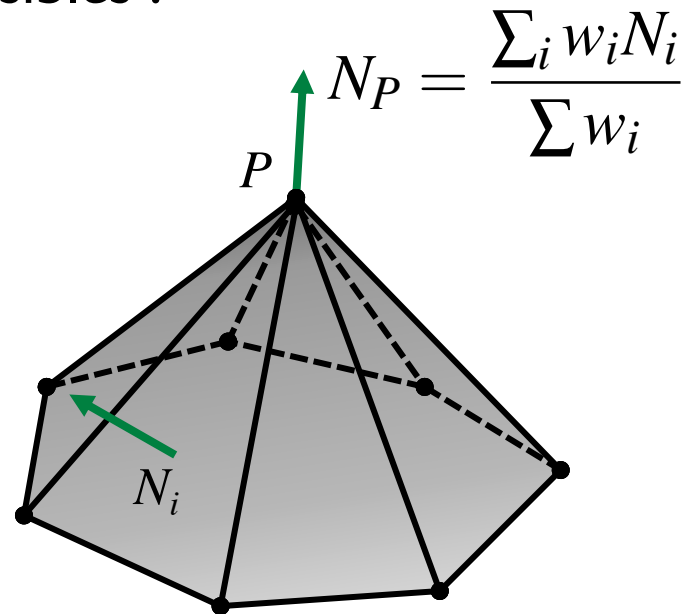
<http://unit20alistair2.blogspot.fr/>



Normales aux sommets

Moyenne (pondérée) des **normales des faces** adjacentes à ce sommet

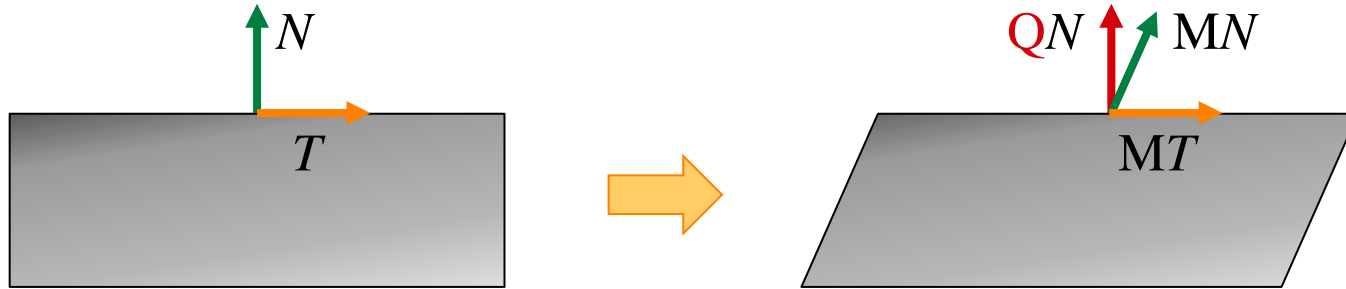
- Normales unitaires
- Différentes pondérations w_i possibles :
 - Unité
 - Aire de la face
 - Angle entre faces adjacentes



c.f. <http://www.bytehazard.com/articles/vertnorm.html>

Transformation des normales

Ne se transforme pas comme un point



Quelle est la bonne transformation **Q** ?

- Avant transformation : $N \cdot T = 0 \Leftrightarrow N^\top T = 0$
- Après transformation :

$$\begin{aligned} & (\mathbf{QN})^\top (\mathbf{MT}) = N^\top \mathbf{Q}^\top \mathbf{MT} = 0 \\ \Rightarrow & \mathbf{Q}^\top \mathbf{M} = \mathbf{I} \\ \Rightarrow & \mathbf{Q} = (\mathbf{M}^{-1})^\top \end{aligned}$$

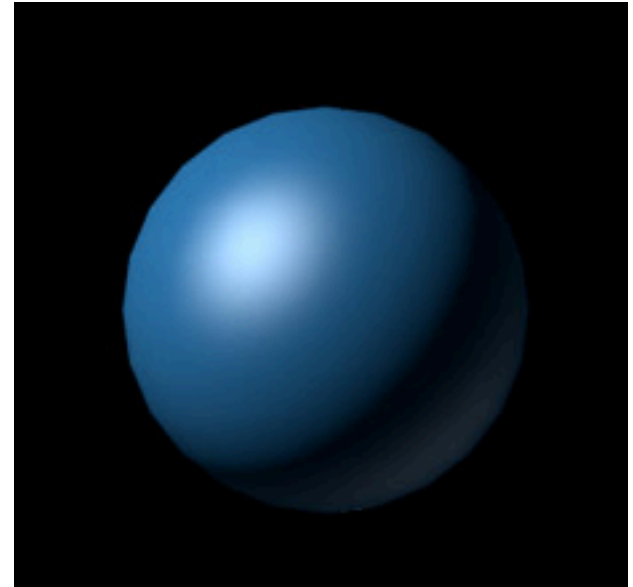
...pas en coordonnées homogène (seulement la matrice 3x3 supérieure)

Phong shading ...à ne pas confondre avec la BRDF de Phong !

Interpolation des normales calculées aux sommets de la face

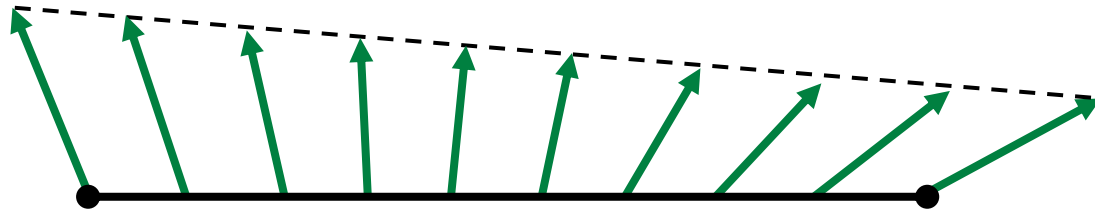
1. Calcul des normales aux sommets
2. Interpolation des normales avec les coordonnées barycentriques
3. Calcul des intensités par fragment

<http://unit20alistair2.blogspot.fr/>

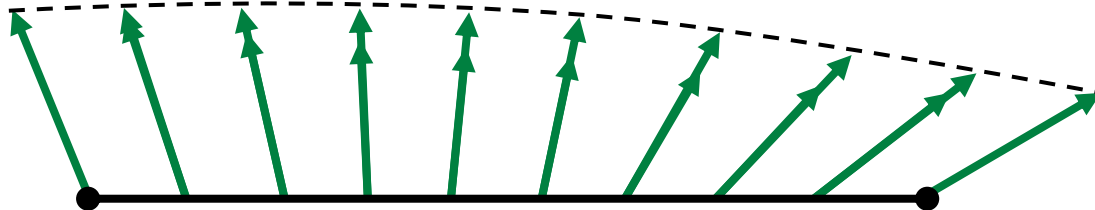


Interpolation des normales

Interpolation **naïve**



Interpolation avec **normalisation**

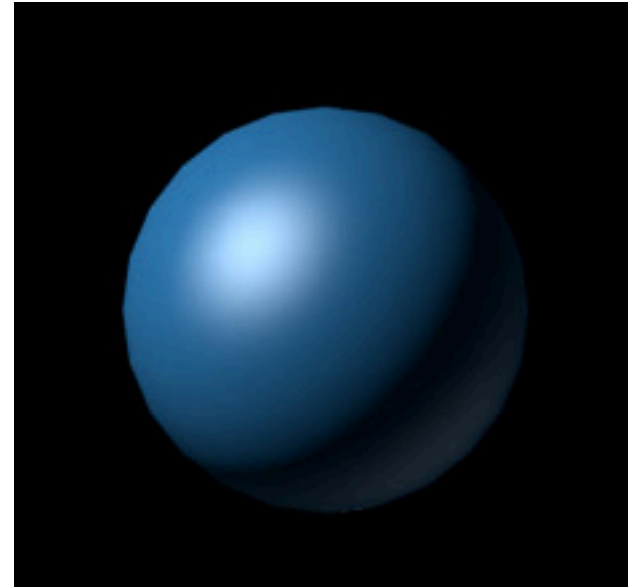


Phong shading

Interpolation des normales calculées
aux sommets de la face

1. Calcul des normales aux sommets
2. Interpolation des normales lors de la rasterisation
3. **Normalisation des normales**
4. Calcul des intensités par fragment

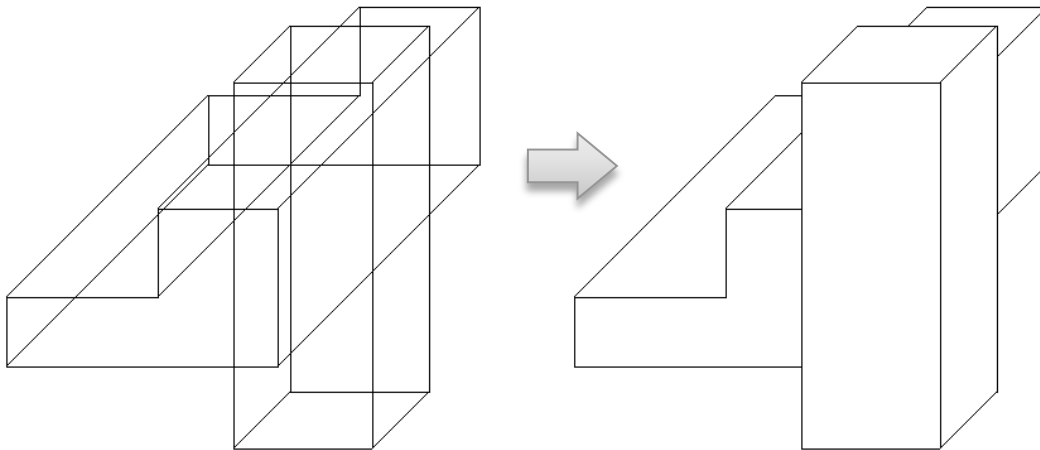
<http://unit20alistair2.blogspot.fr/>



Visibilité, affichage

Calcule des primitives visibles :
⇒ **depth buffer**

Remplissage du **frame buffer** avec le bon format de couleur



Modeling
Transformations

Viewing Transformation
(Perspective / Orthographic)

Clipping

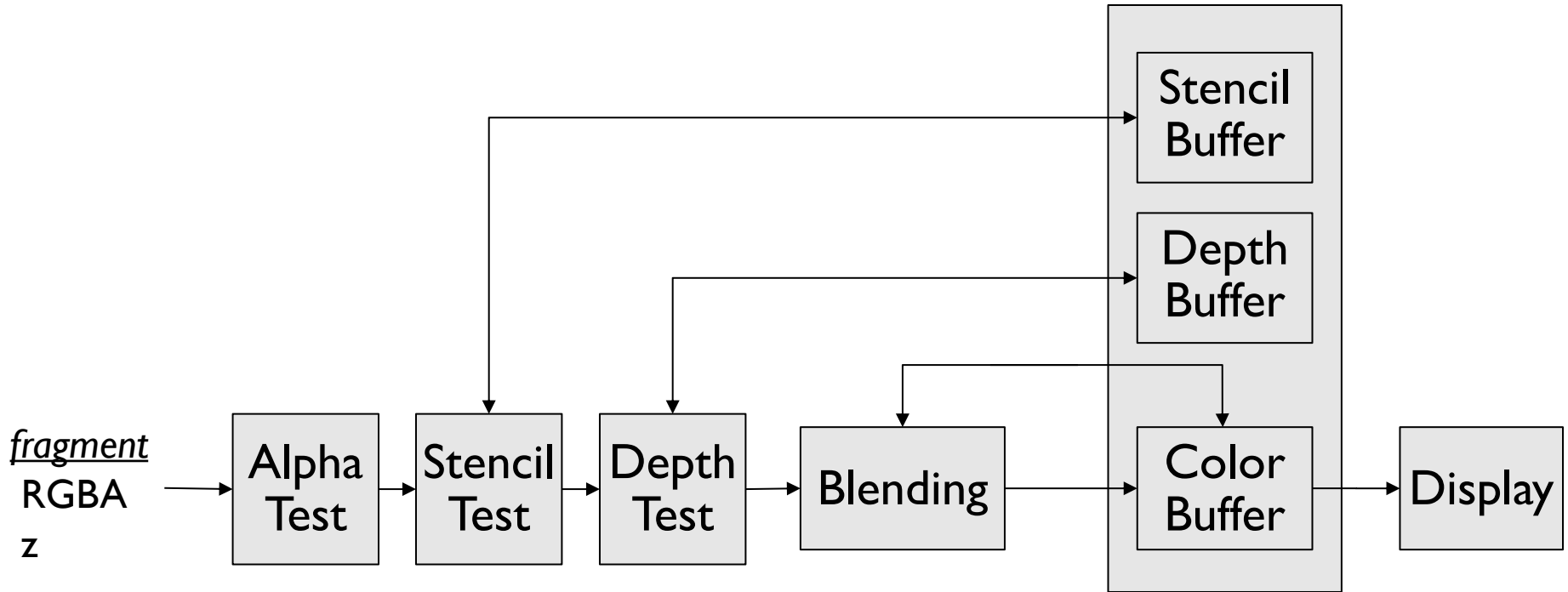
Viewport transform

Scan Conversion
(Rasterization)

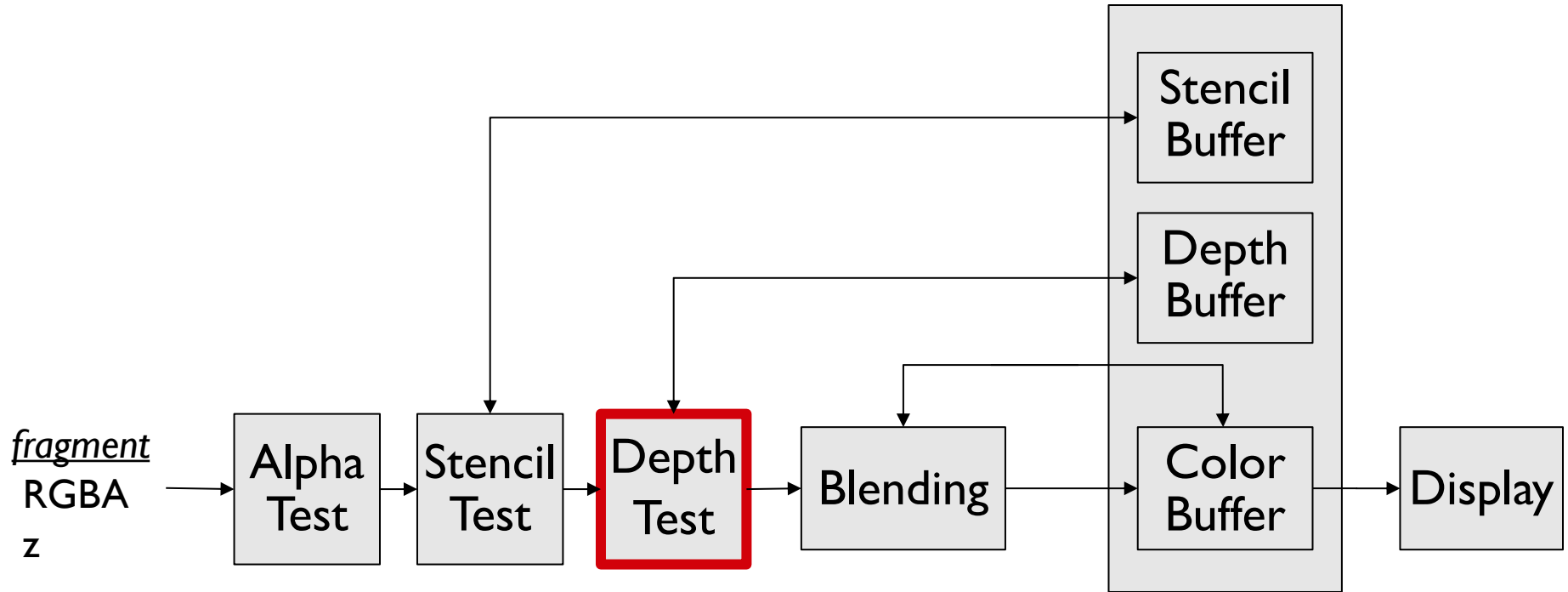
Illumination
(Shading)

Per fragment operations
(visibility, blending)

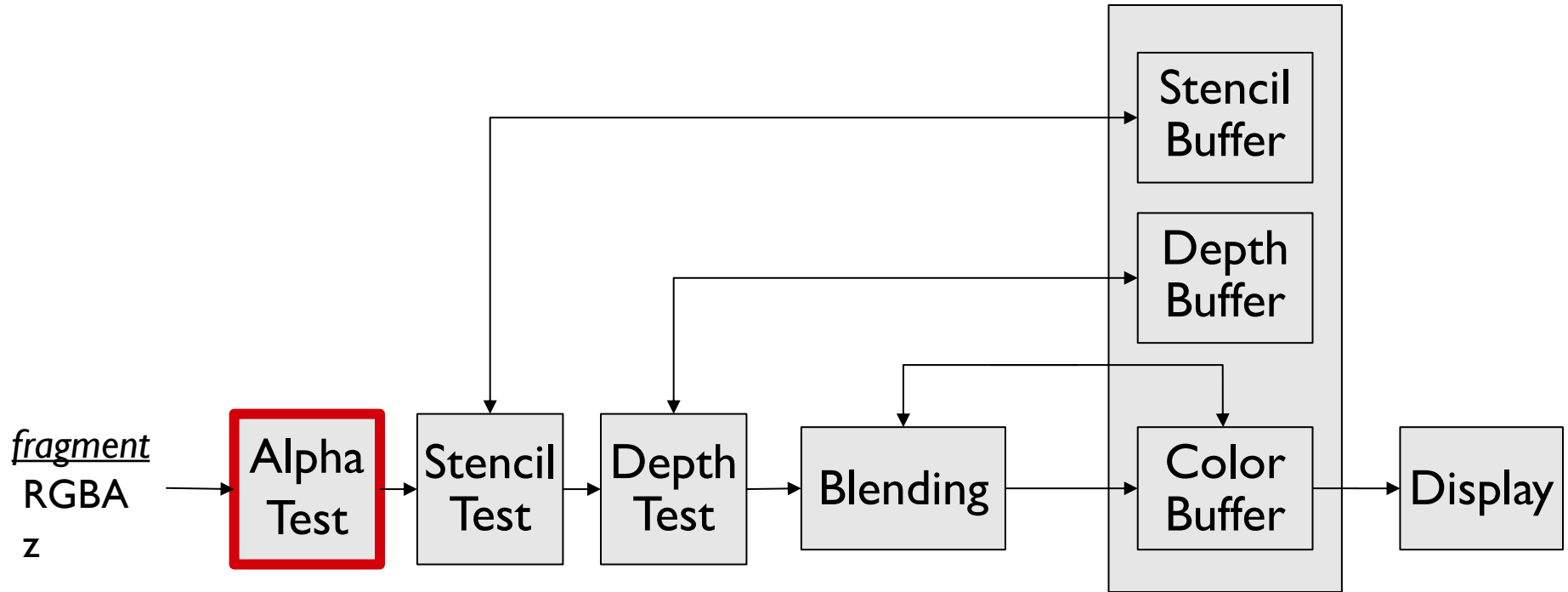
Per fragment operations



Depth test



Alpha test



Alpha test

Supprime le fragment si la **composante transparence (alpha)** ne satisfait pas un certain critère

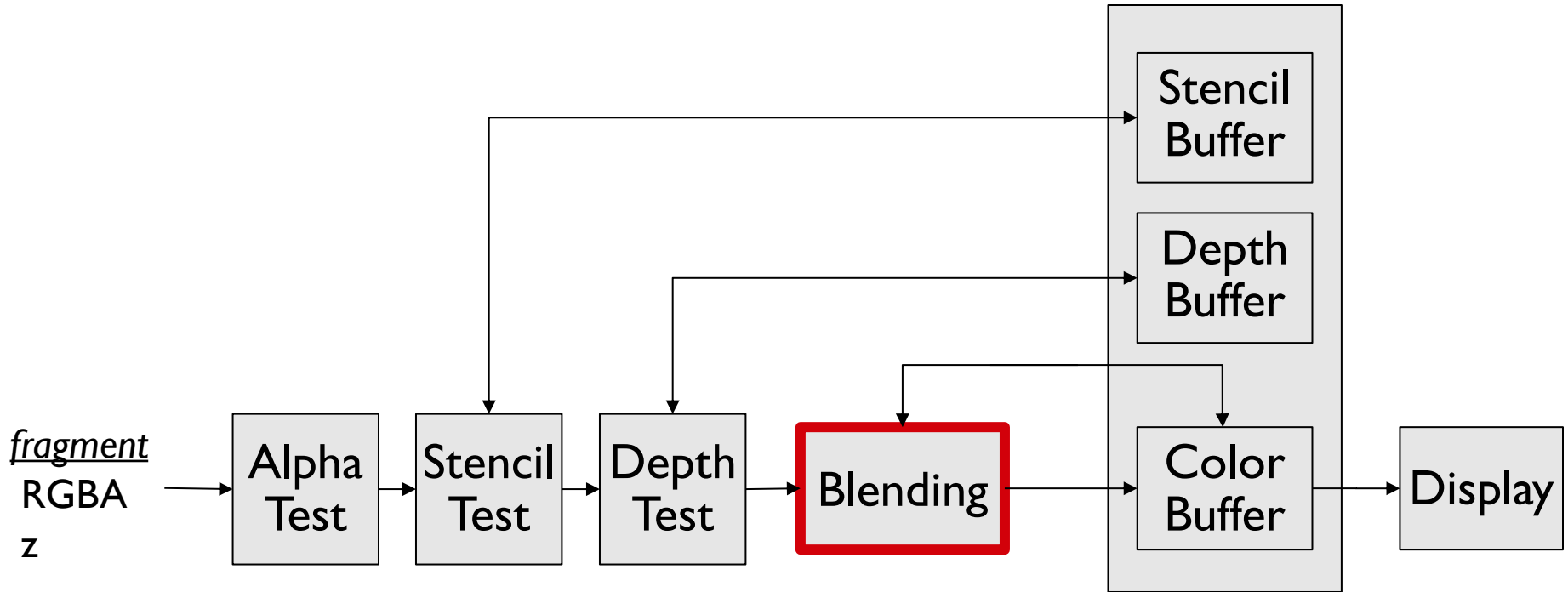
- Critère = **comparaison à une valeur de référence**
- Ex : grillage, végétation (herbe, feuilles d'arbres)...

En OpenGL :




- `glAlphaFunc(GLenum func, GLclampf ref)`
- `func = GL_NEVER, GL_ALWAYS, GL_LESS, GL_GREATER, GL_EQUAL, GL_NOTEQUAL, GL_LEQUAL, GL_GEQUAL`
- Activé par :
`glEnable/Disable(GL_ALPHA_TEST)`



Compositing / Blending



Compositing / Blending

couleur du pixel =  +  +  + ...

Compositing / Blending

Les fragments **sont mélangés** avec les pixels du **color buffer** :

$$C_{pixel} = C_{frag} \times factor_{src} + C_{pixel} \times factor_{dst}$$

Permet de simuler la transparence

En OpenGL :

- `glBlendFunc(GLenum source, GLenum destination)`
- Activé par :
`glEnable/Disable(GL_BLEND)`

Contrôle du mélange

$$RGB_{\text{pixel}} = \text{func}(RGB_{\text{frag}} \times fRGB_{\text{src}}, RGB_{\text{pixel}} \times fRGB_{\text{dst}})$$

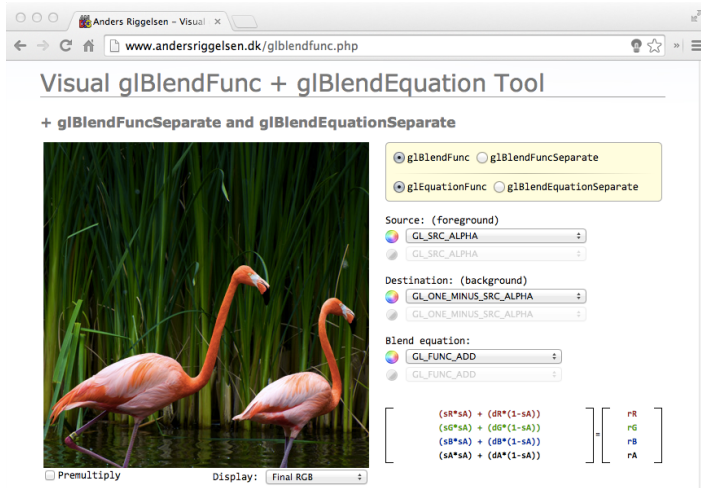
$$A_{\text{pixel}} = \text{func}(A_{\text{frag}} \times fA_{\text{src}}, A_{\text{pixel}} \times fA_{\text{dst}})$$

Avec :

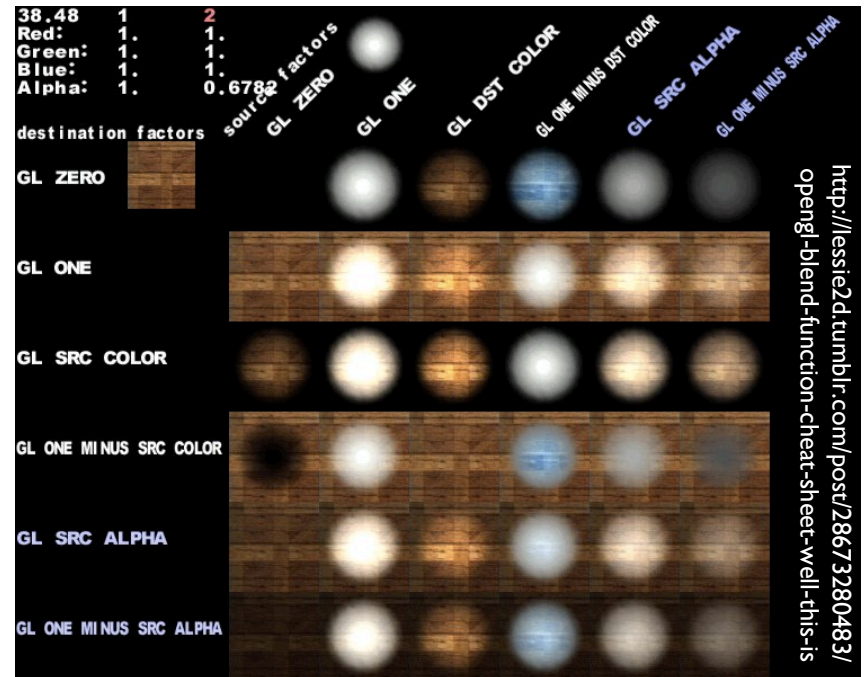
func = *MIN, MAX, FUNC_ADD, FUNC_SUBTRACT, FUNC_REVERSE_SUBTRACT*

f* = *GL_{SRC, DST, CONSTANT}_{ALPHA, COLOR}*

GL_ONE_MINUS_{SRC, DST, CONSTANT}_{ALPHA, COLOR}



Cf. <http://www.andersriggelsen.dk/gblendfunc.php>



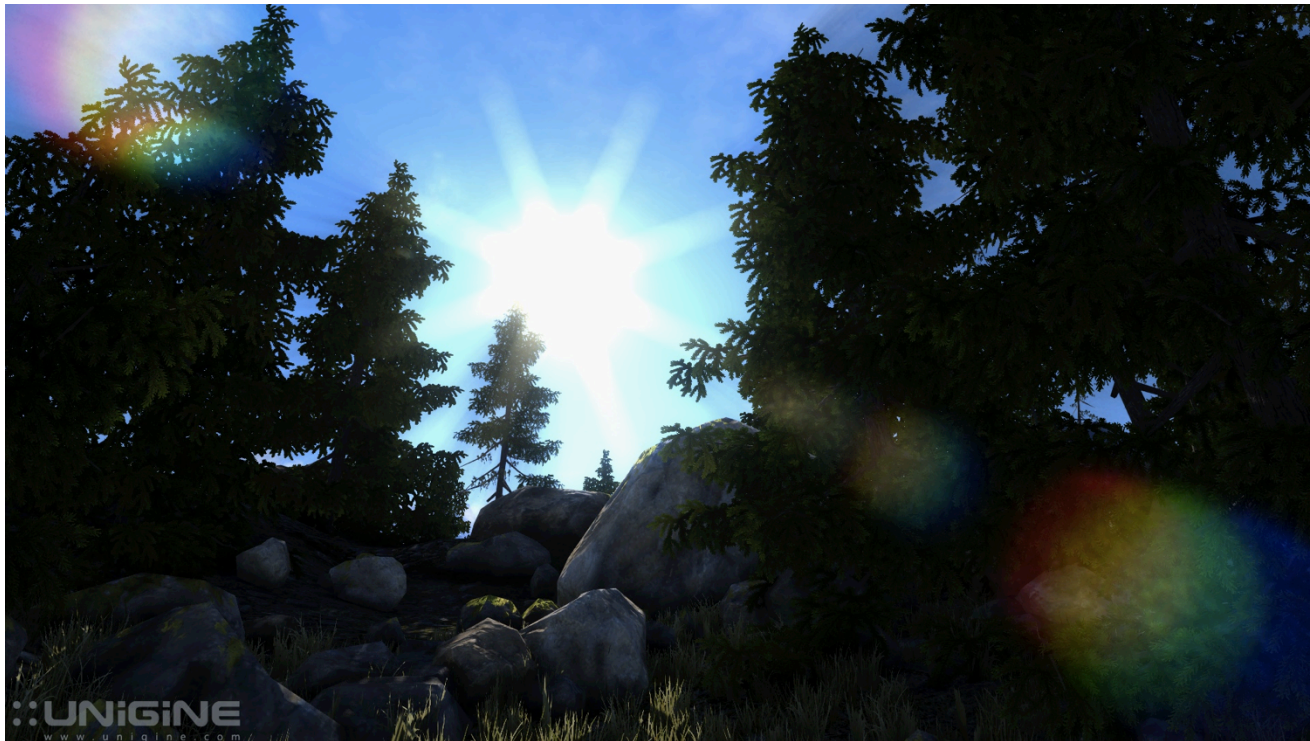
http://essie2d.tumblr.com/post/28673280483/
opengl-blend-function-cheat-sheet-well-this-is

Rendu des objets transparents

Addition

$$C_{pixel} = C_{pixel} + C_{frag}$$

Utilisé pour les phénomènes lumineux (halos, lumière, fantômes,...)



Rendu des objets transparents

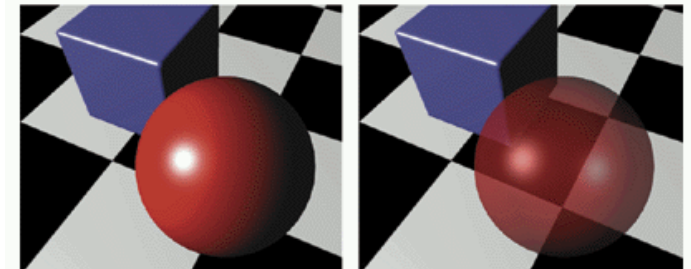
Alpha-blending [Porter and Duff 1984]

$$\begin{cases} C_{pixel_a} = C_{frag_a} + C_{pixel_a}(1 - C_{frag_a}) \\ C_{pixel_rgb} = (C_{frag_rgb} C_{frag_a} + C_{pixel_rgb} C_{pixel_a} (1 - C_{frag_a})) / C_{pixel_a} \end{cases}$$

En OpenGL :

- `glBlendFunc(GL_SRC_ALPHA, GL_ONE_MINUS_SRC_ALPHA)`
- Utilise l'alpha du fragment

From Computer Desktop Encyclopedia
Reprinted with permission.
© 1998 Intergraph Computer Systems



Rendu des objets transparents

Alpha-blending [Porter and Duff 1984]

$$\begin{cases} C_{pixel_a} = 1 \\ C_{pixel_rgb} = C_{frag_rgb} C_{frag_a} + C_{pixel_rgb} (1 - C_{frag_a}) \end{cases}$$

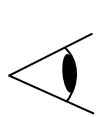
En OpenGL :

- `glBlendFunc(GL_SRC_ALPHA, GL_ONE_MINUS_SRC_ALPHA)`
- Utilise l'alpha du fragment

Alpha-blending



Alpha-blending



$$C_0 = \alpha_0 c_0$$

$$C_n = \alpha_n c_n + (1 - \alpha_n) C_{n-1}$$

Rendu des objets transparents

Alpha-blending [Porter and Duff 1984]

$$C_{pixel_rgb} = C_{frag_rgb} C_{frag_a} + C_{pixel_rgb} (1 - C_{frag_a})$$

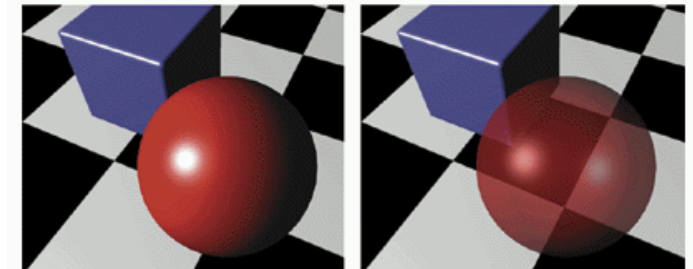
En OpenGL :

- `glBlendFunc(GL_SRC_ALPHA, GL_ONE_MINUS_SRC_ALPHA)`
- Utilise l'alpha du fragment

Méthode de rendu :

1. tracer les objets opaques
2. activer le blending
3. tracer les objets transparents

**du plus profond au moins profond
(algorithme du peintre)**

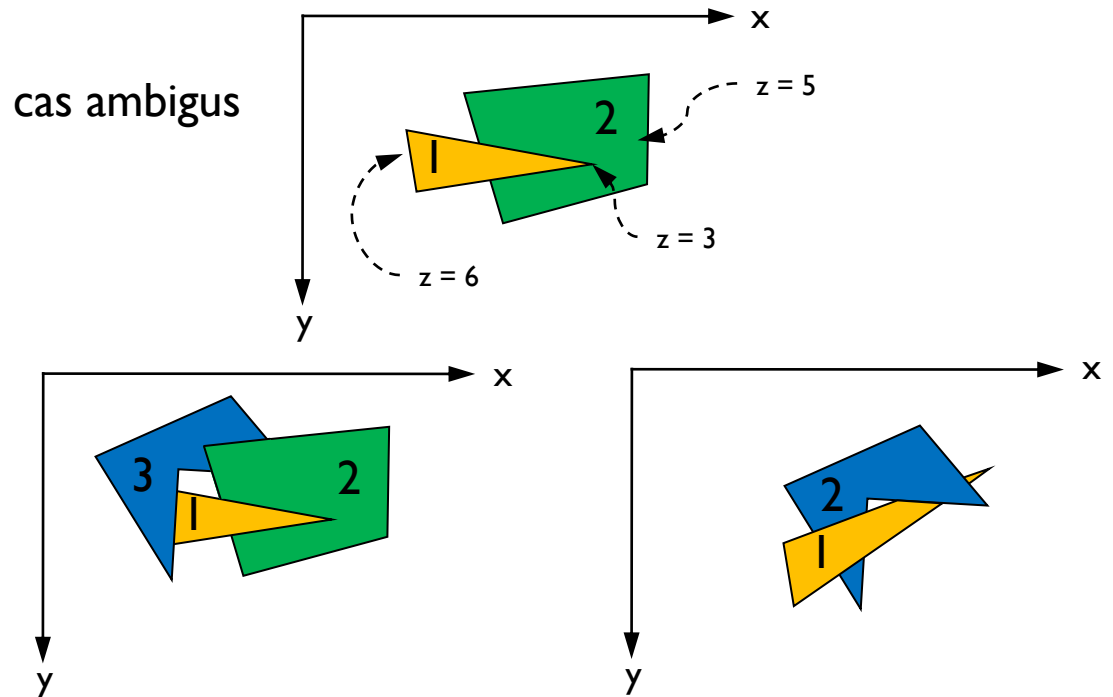
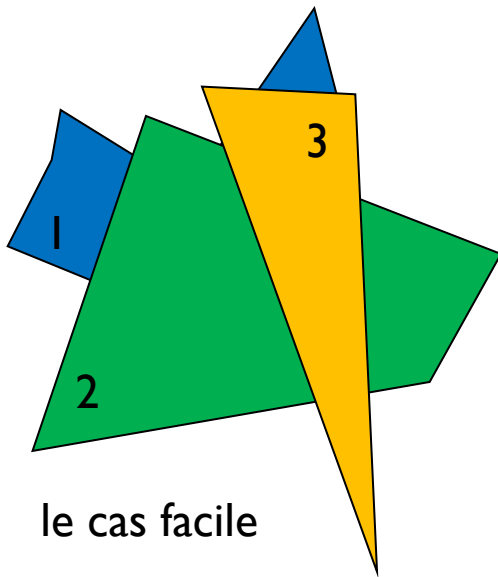


From Computer Desktop Encyclopedia
Reprinted with permission.
© 1998 Intergraph Computer Systems

Algorithme du peintre

« Peindre » les polygones suivant un **ordre de distance décroissante** au point de vue

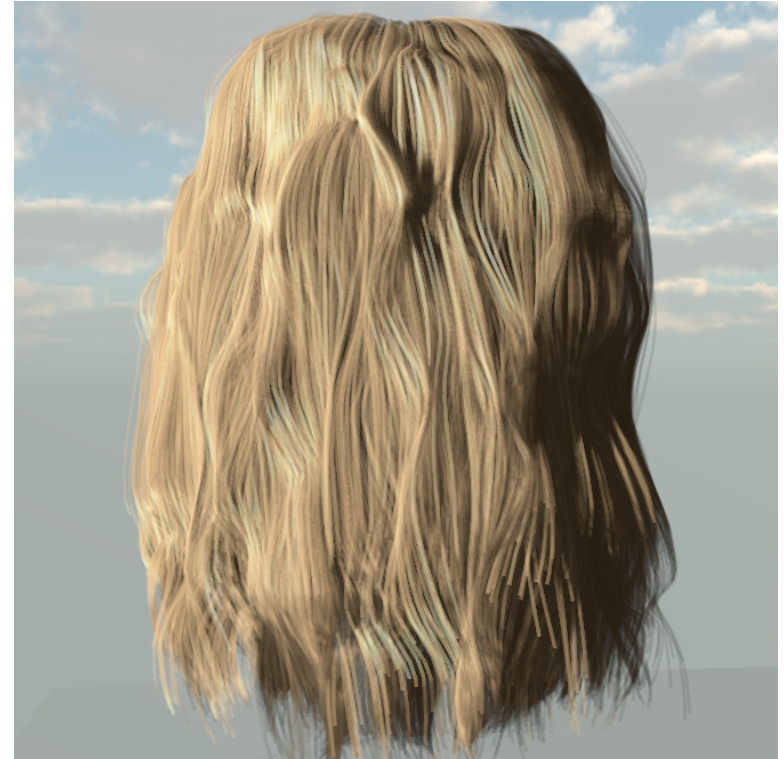
- **Trier** suivant les z décroissants dans le repère de la camera
⇒ meilleur coût : $O(n \log(n))$
- Résoudre les **ambiguïtés** dues aux recouvrements



Rendu des objets transparents



Alpha-Blending sans tri



*Order-Independent
Transparency*

Order-Independent Transparency

Objectif :

ne pas avoir à trier les objets (triangles)

Solutions :



Order-Independent Transparency

Objectif :

ne pas avoir à trier les objets (triangles)

Solutions :

ou

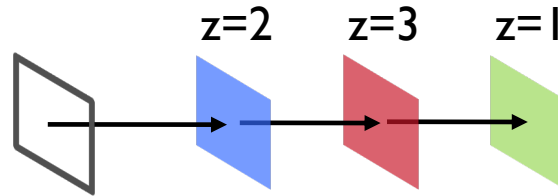
⇒ trier les **fragments** (visibilité implicite)

⇒ calculer explicitement la **fonction de visibilité**

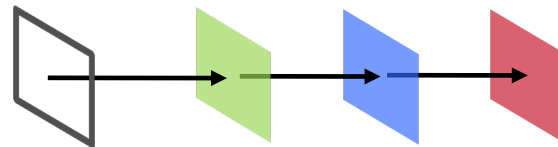
$$\text{couleur du pixel} = \sum_{i=0}^n C_i \alpha_i \text{vis}(z_i)$$

A-buffer [Carpenter 1984, Yang et al. 2009]

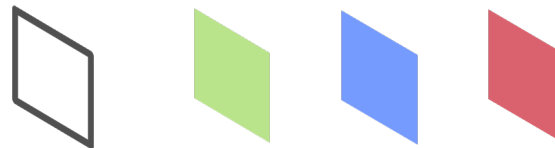
1. Pour chaque pixel, liste des fragments (couleur et z)



1. Trie de la liste sur la **profondeur**



2. **Alpha-blending** des fragments



⇒ Pas de limite sur la quantité de mémoire nécessaire

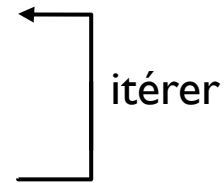
Depth Peeling [Everitt 2001]

Rendu de la scène en **plusieurs passes** : ***n layers***

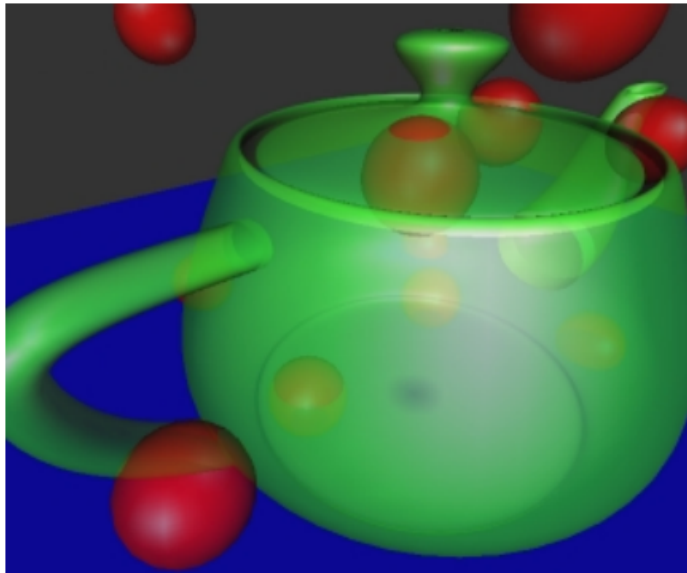
1. Rendu normal \Rightarrow garder le *depth buffer*

2. Nouveau rendu :

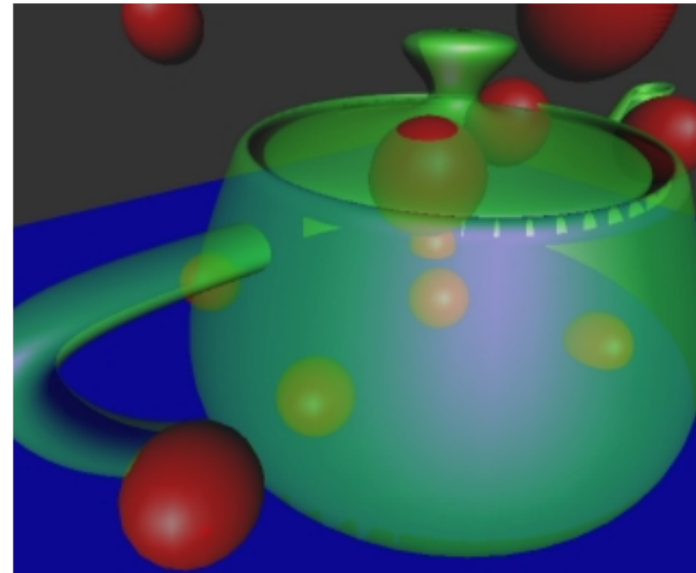
- ignorer le fragment si son $z \leq \text{depth buffer}$
- générer un nouveau *depth buffer*



3. Alpha-blending des layers

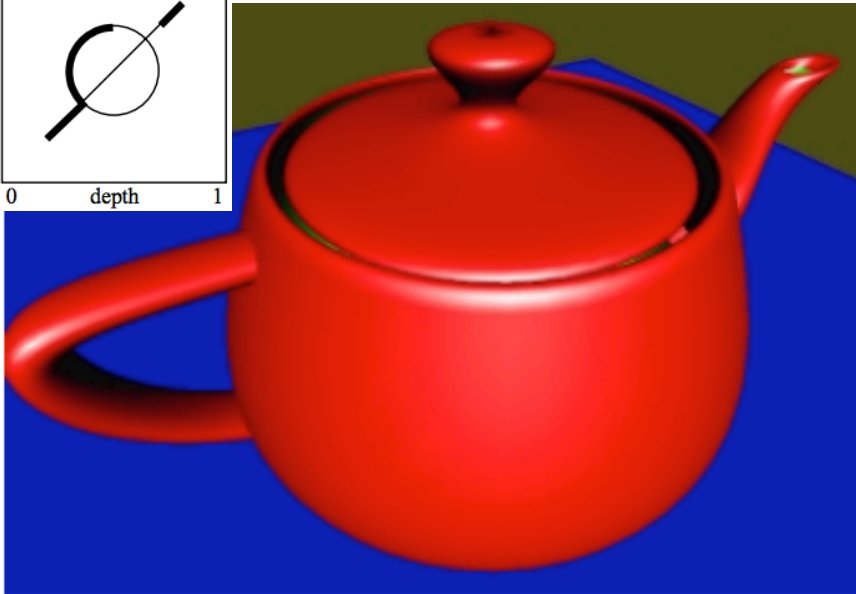
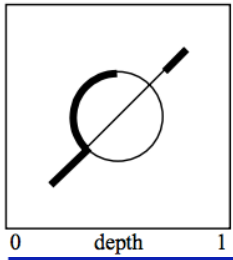


Transparence correcte

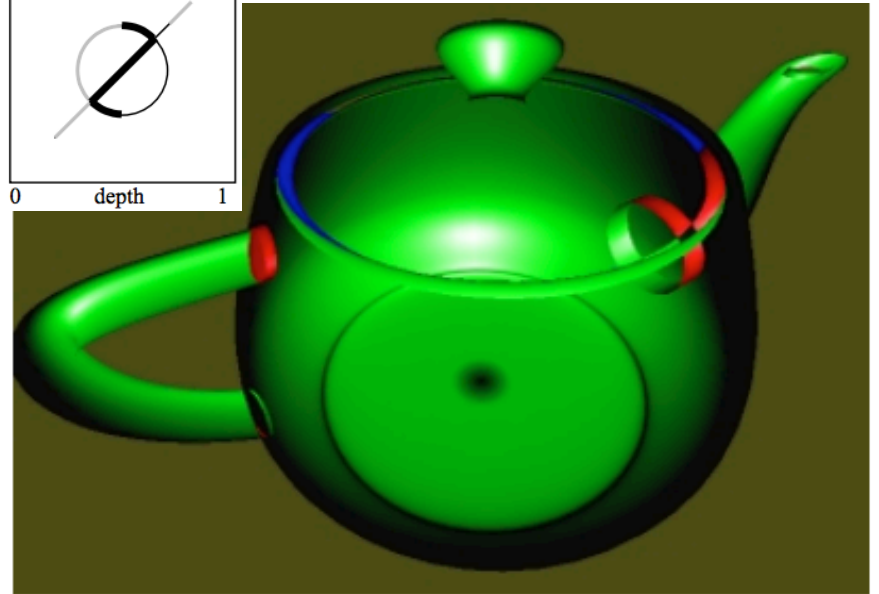
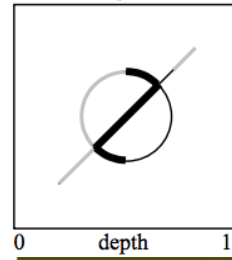


Transparence incorrecte

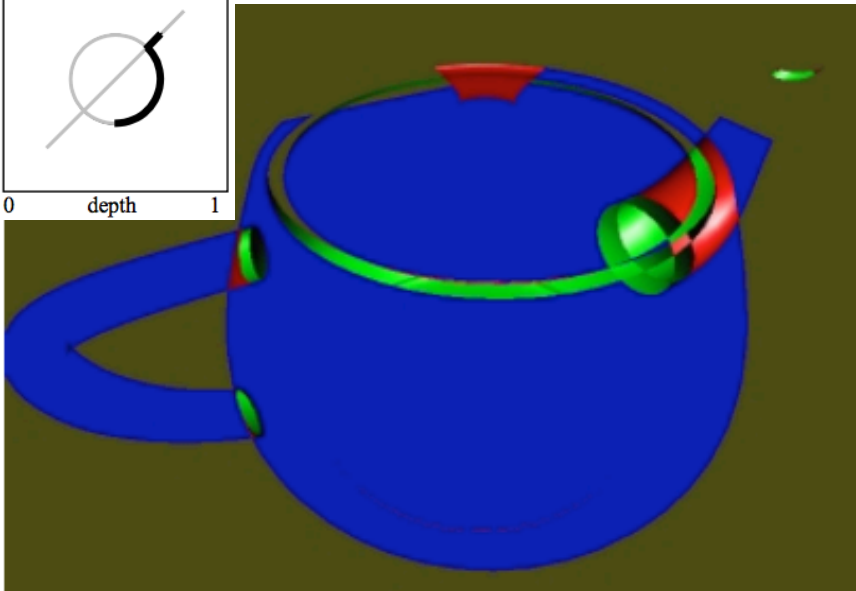
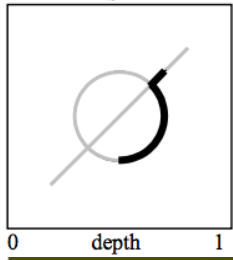
Layer 1



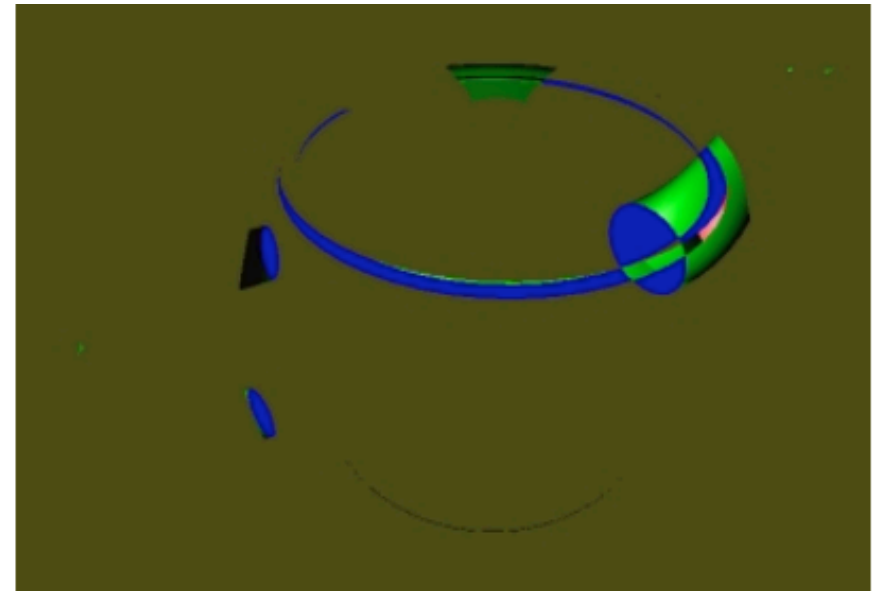
Layer 2



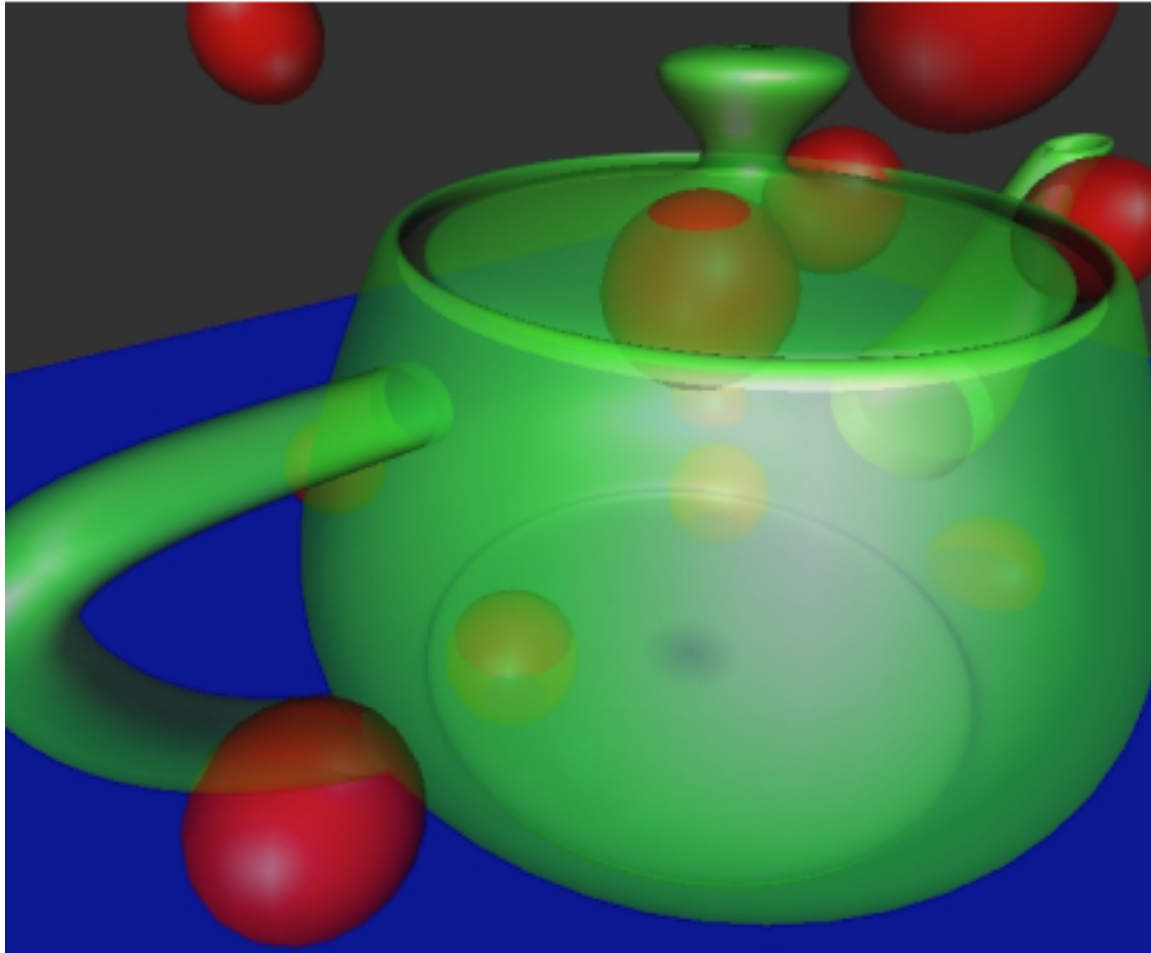
Layer 3



Layer 4



Depth Peeling [Everitt 2001]



4 layers

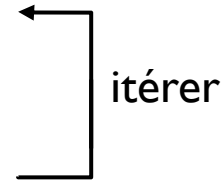
Depth Peeling [Everitt 2001]

Rendu de la scène en **plusieurs passes** : ***n layers***

1. Rendu normal \Rightarrow garder le *depth buffer*

2. Nouveau rendu :

- ignorer le fragment si son $z \leq \text{depth buffer}$
- générer un nouveau *depth buffer*



3. Alpha-blending des layers

\Rightarrow ***2 depth buffers*** nécessaires (FBO)

\Rightarrow Rendu correcte quand $n \rightarrow \infty$